

**Zeitschrift:** Bulletin des Schweizerischen Elektrotechnischen Vereins  
**Herausgeber:** Schweizerischer Elektrotechnischer Verein ; Verband Schweizerischer Elektrizitätswerke  
**Band:** 14 (1923)  
**Heft:** 11

**Artikel:** Spannungsverteilung und Temperatur im Dielektrikum von Einleiterkabeln  
**Autor:** Schait, Huldreich  
**DOI:** <https://doi.org/10.5169/seals-1060400>

#### **Nutzungsbedingungen**

Die ETH-Bibliothek ist die Anbieterin der digitalisierten Zeitschriften auf E-Periodica. Sie besitzt keine Urheberrechte an den Zeitschriften und ist nicht verantwortlich für deren Inhalte. Die Rechte liegen in der Regel bei den Herausgebern beziehungsweise den externen Rechteinhabern. Das Veröffentlichen von Bildern in Print- und Online-Publikationen sowie auf Social Media-Kanälen oder Webseiten ist nur mit vorheriger Genehmigung der Rechteinhaber erlaubt. [Mehr erfahren](#)

#### **Conditions d'utilisation**

L'ETH Library est le fournisseur des revues numérisées. Elle ne détient aucun droit d'auteur sur les revues et n'est pas responsable de leur contenu. En règle générale, les droits sont détenus par les éditeurs ou les détenteurs de droits externes. La reproduction d'images dans des publications imprimées ou en ligne ainsi que sur des canaux de médias sociaux ou des sites web n'est autorisée qu'avec l'accord préalable des détenteurs des droits. [En savoir plus](#)

#### **Terms of use**

The ETH Library is the provider of the digitised journals. It does not own any copyrights to the journals and is not responsible for their content. The rights usually lie with the publishers or the external rights holders. Publishing images in print and online publications, as well as on social media channels or websites, is only permitted with the prior consent of the rights holders. [Find out more](#)

**Download PDF:** 17.02.2026

**ETH-Bibliothek Zürich, E-Periodica, <https://www.e-periodica.ch>**

## Spannungsverteilung und Temperatur im Dielektrikum von Einleiterkabeln.

Von Dr. Huldreich Schait, Dipl. Elektro-Ingenieur, Zürich.

Der Autor untersucht auf experimentelle und rechnerische Weise den Einfluss der Temperatur, der Spannung und der Frequenz auf die Spannungsverteilung im Dielektrikum eines Kabels. Er zeigt, dass die übliche Rechnungsweise zur Bestimmung dieser Spannungsverteilung ungenau ist und gibt neue Formeln an, welche der Tatsache Rechnung tragen, dass die Dielektrizitätskonstante keine wirkliche Konstante ist und dass jedes Dielektrikum elektrische Leitfähigkeit besitzt.

Ferner wird auf den physikalischen Vorgang beim Durchschlag fester Isolierstoffe eingetreten und die Sicherheit gegen Durchschlag bestimmt.

L'auteur examine à l'aide d'expériences et par le calcul l'influence de la température, de la tension et de la fréquence sur la répartition de la tension dans le diélectrique d'un câble.

Il démontre que le mode actuel de déterminer cette répartition n'est pas exact et il donne de nouvelles formules qui tiennent compte du fait que la constante diélectrique n'est pas une véritable constante et du fait que chaque diélectrique possède aussi une certaine conductibilité.

Il étudie en outre le phénomène du percement d'un isolant solide et détermine le coefficient de sûreté.

### Einleitung.

In der Kabeltechnik berechnet man die Spannungsbeanspruchung der Isolation von Einleiterkabeln nach der Formel:

$$\frac{dV}{dr} = \frac{V}{r \lg \frac{r_2}{r_1}}$$

Dabei bedeutet  $\frac{dV}{dr}$  den Spannungsgradienten,  $V$  die Spannung zwischen dem Leiter und dem Bleimantel,  $r_1$  den Außenradius des Leiters und  $r_2$  den Innenradius des Bleimantels. Die Entstehung dieser Gleichung geht auf das von J.C. Maxwell geschriebene Werk „A Treatise on Electricity and Magnetism“ vom Jahre 1873 zurück. In Band I, Art. 126, berechnet Maxwell auf Grund der Potentialgleichung von Laplace die Spannungsverteilung zwischen zwei koaxialen Zylindern und gewinnt dabei diese Formel. O'Gorman, unterstützt von J. Swinburne, war der erste, welcher diese Formel auf Einleiterkabel übertrug. Dies geht aus einer Veröffentlichung O'Gormans im „Journal of the Institution of Electrical Engineers“ des Jahres 1901, Band XXX, Seite 608, betitelt „Insulation on Cables“, hervor.

Maxwell dachte sich zwischen den koaxialen Zylindern ein homogenes und verlustfreies Dielektrikum, dessen Dielektrizitätskonstante als eine tatsächliche Konstante anzusehen ist. Die von ihm aufgestellte Formel enthält deshalb keine den Stoff des Mediums charakterisierende Materialkonstante. O'Gorman unterliess es, zu untersuchen, ob diese Annahme für die Kabelisolation gemacht werden darf.

Die Isolation von Starkstromkabeln wird heute ohne Ausnahme aus imprägniertem Papier, das möglichst kompakt den Leiter umgibt, hergestellt. Die so gebildete Isolierhülle kann zur Berechnung der Spannungsverteilung als homogen angesehen werden. Das Kabeldielektrikum ist bekannterweise mit Verlusten, die der Leitfähigkeit, sowie der dielektrischen Nachwirkung zuzuschreiben sind, behaftet. Die Materialkonstanten des Isolierstoffes können Spannungs-, Frequenz- und Temperaturabhängigkeit besitzen. In der vorliegenden Arbeit wird die Spannungsverteilung in Einleiterkabeln unter praktischer Berücksichtigung der wirklichen Verhältnisse bestimmt.

Die Leitfähigkeit der Kabelisolation im Bereich der Betriebsspannungen ist sehr klein, im Gebiete der Durchschlagsspannung aber sehr gross. Daraus ergibt sich, dass die Kabelhülle mit steigender Spannung ihre dielektrischen Eigenschaften immer mehr verliert und diejenigen eines Halbleiters annimmt. Da es in der Kabeltechnik vor allem wichtig ist, die Spannungsbeanspruchung in einem Kabel bei seiner Normalspannung, sowie bei seiner Durchschlagsspannung zu kennen, und da das soeben genannte Verhalten der Kabelisolation bei diesen Spannungen eine wesent-

liche Vereinfachung der Aufgabe gestattet, erschien es angezeigt, sich bei der Berechnung der Spannungsverteilung auf diese zwei praktisch interessanten Fälle zu beschränken.

Sieht man nämlich von dem geringfügigen Leitungsstrom, sowie von dem kleinen Kapazitätsstrom des Kabels bei Normalspannung ab, dann kann man zwischen Leiter und Bleimantel ein elektrostatisches Feld annehmen. Die Elektrostatik kennt als Materialkonstante nur die Dielektrizitätskonstante. Diese war auf Spannungs-, Frequenz- und Temperaturabhängigkeit zu untersuchen. Die Temperaturbeeinflussung war zu prüfen; weil das im Betrieb stehende Kabel drei Wärmequellen, die ein Temperaturgefälle im Dielektrikum erzeugen, aufweist. Diese Quellen sind: Die Joulesche Wärme des Leiters (Betriebsstromwärme), diejenige des Bleimantels (Wirbelstromwärme) und endlich diejenige der Isolation (dielektrische Stromwärme). Die beiden zuletzt genannten Wärmequellen tragen im normalen Betriebe wenig zur Bildung des Temperaturgefälles zwischen Leiter und Bleimantel bei und wurden daher in diesem Falle nicht berücksichtigt. Um die Temperaturverteilung in der Kabelisolation berechnen zu können, musste der spezifische Wärmewiderstand des Isoliermaterials sowie dessen Beeinflussung durch die Temperatur bestimmt werden. Da die Leitfähigkeit nicht nur mit steigender Spannung, sondern auch mit wachsender Temperatur zunimmt, war im weitern zu untersuchen, bis zu welcher Temperatur die oben erwähnte Vernachlässigung der Leitfähigkeit als zulässig erscheint.

Wird ein Kabel mit einer Spannung, die in der Nähe seiner Durchschlagsspannung liegt, beansprucht, dann geht es infolge der nunmehr hohen Leitfähigkeit des Isoliermaterials nicht mehr an, in demselben ein elektrostatisches Feld anzunehmen. Es erweist sich dann als zutreffend, die Spannungsverteilung in der Isolierhülle nach dem ohmschen Gesetz, wie es für Halbleiter gebräuchlich ist, zu berechnen. Die Materialkonstante, in diesem Falle die Leitfähigkeit, musste auf Spannungs-, Frequenz- und Temperaturabhängigkeit untersucht werden. Das Temperaturgefälle zwischen Leiter und Bleimantel wird nun in der Hauptsache durch die Stromwärme der Isolation bedingt, und musste dementsprechend berechnet werden.

In der Elektrotechnik ist es üblich, ein mit Verlusten behaftetes Dielektrikum durch eine reine Kapazität mit parallel geschaltetem Widerstande schematisch zu ersetzen. Dass dieses Ersatzschema zur Berechnung der Spannungsverteilung in einer Kabelisolation nicht verwendet werden darf, wird im rechnerischen Teil dieser Arbeit begründet.

An dieser Stelle danke ich Herrn Prof. Dr. *W. Kummer* für das rege Interesse, das er stets dieser Arbeit entgegenbrachte, und für seine Bemühungen, experimentelle Untersuchungen, die des Mitwirkens der Kabelindustrie bedurften, zu ermöglichen. Herrn Prof. Dr. *P. Debye*, Direktor des physikalischen Institutes der E. T. H., und Herrn Ingenieur *W. Dübi*, Direktor der Kabelwerke Brugg A.-G., danke ich für die freundliche Ueberlassung von Laboratorien, Apparaten und Versuchsmaterial. Ebenso danke ich dem Laboratoriums-Ingenieur des Kabelwerkes, Herrn *E. Schneberger*, für seine Mitwirkung bei den Versuchen.

## I. Die experimentellen Untersuchungen.

### 1. Temperaturabhängigkeit der Dielektrizitätskonstanten.

#### a) Gleichstromversuch bei Niederspannung.

#### a) Entladung des Kabels auf ein Galvanometer.

Dieser Versuch wurde im physikalischen Institut der Eidgenössischen Technischen Hochschule ausgeführt. Die Versuchsanordnung zeigt Fig. 1.

Der Versuch wurde an Kabelstücken von nur 208 cm Länge ausgeführt, was gestattete, mit einer kleinen Heizeinrichtung auszukommen. Die Heizung war eine elektrische Widerstandsheizung und befand sich in einer mit Asbest ausgekleideten Holzkiste. Der Heizdraht verlief in der Längsrichtung der Kiste und war gleichmäßig um das Kabel herum angeordnet. Dies sicherte eine konstante Temperatur

längs des Kabels. Vor jeder Messung wurde der gewünschte Temperaturpunkt mindestens 10 Stunden lang innegehalten, damit das Kabel durch und durch die mit Thermo metern abgelesene Kistenraumtemperatur besitze. Im Laufe der Messungen zeigte sich, dass ein dickeres Kabel nach ca. 3 Stunden, ein dünneres nach ca. 2 Stunden gleichmässig durchwärmte, was aus den dann konstanten Galvanometerausschlägen hervorging. Es sei gleich hier gesagt, dass ein mehrtägiges Belassen auf ein und derselben Temperatur keine Änderung des Galvanometerausschlages bewirkte.

Das Kabel wurde mit der Gleichstromquelle ca. eine Minute lang geladen, dann von derselben abgetrennt und darauf über das Galvanometer entladen. Der Galvanometerausschlag ist der Kapazität des Kabels proportional, insofern die Spannung konstant gehalten wird. Dieser Schaltvorgang wurde anfänglich mit einer von Hand zu betätigenden Wippe vorgenommen; dabei erwies sich die Einrichtung infolge der Beeinflussung des Galvanometerausschlages durch die bei Handbetätigung sich ergebenden variablen Schaltzeiten als unbrauchbar. Der Einbau eines Helmholtzpendels an Stelle der Wippe sicherte eine stets gleiche Schaltgeschwindigkeit und gestattete, die Schaltzeiten sehr kurz zu halten. Bei geschlossener Stellung von Kontakt 3 und offener Stellung von Kontakt 4 des Pendels ging die Ladung des Kabels vor sich. Eine

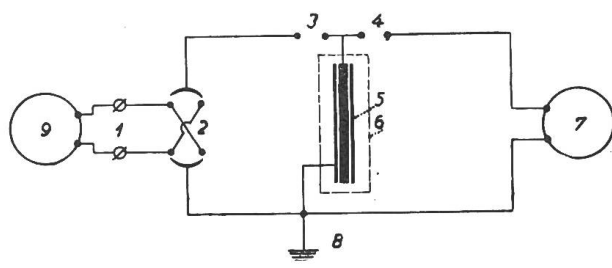


Fig. 1.

Die in dieser Fig. verwendeten Ziffern haben folgende Bedeutung:

1 Gleichstromquelle	5 Kabel
2 Wippe	6 Heizkiste
3 Oeffnungskontakt des Helmholtzpendels	7 Spiegelgalvanometer
4 Schliesskontakt	8 Erde
	9 Voltmeter

elektrische Auslösevorrichtung brachte das Pendel zum Fallen. Beim Durchgang desselben durch seine vertikale Lage wurde Kontakt 3 geöffnet und mit einer zeitlichen Nacheilung Kontakt 4 geschlossen. Im Schliessmoment dieses Kontaktes entlud sich das Kabel auf den Galvanometerkreis. Die zeitliche Nacheilung ergibt sich mit hinreichender Genauigkeit aus der Gleichung

$$t = \frac{s}{\sqrt{2g l}}$$

Darin bedeutet  $t$  die Nacheilzeit,  $s$  den Weg, den das Pendel nach dem Öffnen von Kontakt 3 bis zum Schliessen des Kontaktes 4 durchläuft,  $g$  die Erdbeschleunigung und  $l$  die Pendellänge. Der Weg  $s$  konnte mit einer Mikrometer schraube zwischen 2 und 35 mm variiert werden. Die Kontaktöffnung des Schliesskontaktes betrug 2 mm, die Pendellänge 40 cm. Dem Wegminimum entspricht eine Zeit von 0,0007 sec., dem Wegmaximum eine solche von 0,013 sec. Bei allen Wegeinstellungen zwischen 2 und 35 mm waren die Galvanometerausschläge dieselben; daraus folgt, dass das Kabel trotz seiner unvollkommenen Isolationsfähigkeit in einer Zeit von 0,013 sec., noch keine merkbare Ladungsmenge verliert. Auch bei Temperaturen des Kabels von ca. 70° C ergab sich für alle möglichen Wegeinstellungen die Konstanz der Galvanometerausschläge. Während der Versuche war der Weg  $s$  stets auf

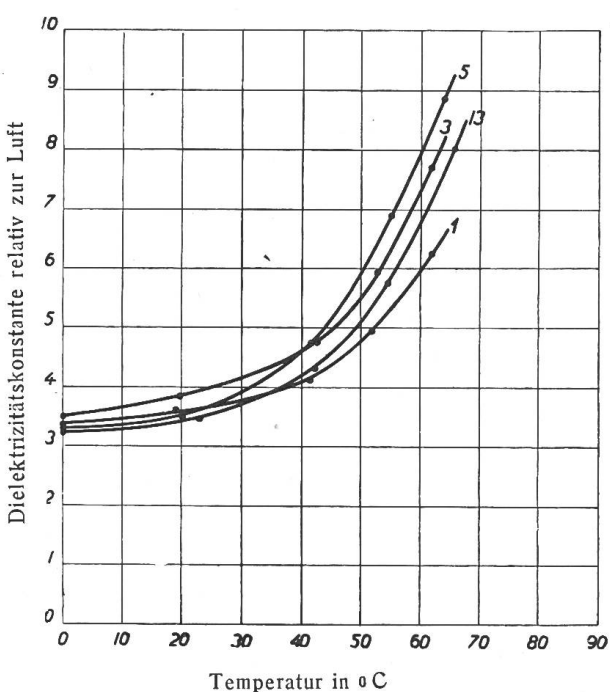


Fig. 2

Abhängigkeit der Dielektrizitätskonstanten von der Temperatur für das Dielektrikum der Kabel Nr. 1, 3, 5 und 13, bei Gleichstrom.

2 mm eingestellt, was gerade der Kontaktöffnung des Schliesskontakte gleichkommt. Die stromführenden Pendelbestandteile waren durch Bernstein und die Leitungsführungen der Versuchsanordnung durch Paraffin gegen Erde abgestützt. Die Leitungseinführungen in die Heizkiste bestanden aus Quarz. Das Heraustropfen der Kabelmasse aus den Kabeln wurde durch Anbringen von Metallkappen mit Gummidurchführungen an die Kabelenden vermieden. Dieselbe Massnahme verhinderte das Eindringen von Eiswasser bei der Messung mit 0° C; das Kabelende mit der Zuleitung zur Kabelseele wurde mittels einer Lehmschicht vom Eise getrennt. Die Wippe 2 diente zur Stromwendung, da sowohl der links- als auch der rechtsseitige Galvanometerausschlag beobachtet wurde. Die Kapazität der Zuleitung konnte wegen ihrer Kleinheit vernachlässigt werden, wie auch die Restladungen der Kabel. Die Kabelausdehnung infolge der Erwärmung war praktisch gleich Null; dies erlaubt, die Dielektrizitätskonstante als das Verhältnis der gemessenen Kapazität zur Kapazität des kalten und mit Luft als Dielektrikum gedachten Kabels aufzufassen. Den Galvanometerausschlag eichte man mit einer Normalkapazität von Siemens & Halske, welche als kleinsten Wert 0,001  $\mu F$  aufwies. Die Messung mittels Gleichstrom erfolgte für jede Versuchstype an zwei Exemplaren, um von Zufälligkeiten in der Fabrikation möglichst frei zu sein. Die gefundenen Ungleichheiten in der Kapazität der zusammengehörenden Stücke blieben im Bereiche der Messfehler, weshalb die mit geraden Nummern bezeichneten Kontrollstücke in den folgenden Tabellen nicht aufgeführt werden.

Die Daten der untersuchten Kabel sind aus folgender Zusammenstellung zu entnehmen:

Tabelle I

Kabel- No.	Betriebs- spannung kV	Nenn- strom A	Seel- querschnitt mm <sup>2</sup>	Seeldurch- messer mm	Isolations- dicke mm	Papier- dicke mm	Durch- messer über Blei mm	Kabel- länge cm
1	30	350	135	15	12	0,15	46	208
3	15	350	100	13	10	0,20	38	208
5	8	120	50	9,3	4	0,10	20,5	208
13	6	80	16	4,5	5	0,15	18	208

Die in der Tabelle fehlenden ungeraden Kabelnummern beziehen sich auf Kabel, die sich von den aufgeführten entweder durch die Papierdicke oder dann durch den Fabrikationsgang unterscheiden. Da weder die Papierdicke noch die Art der Fabrikation einen wesentlichen Einfluss auf den Verlauf der Dielektrizitätskonstanten zeitigte, wurden auch die Messresultate dieser Kabelausführungen weggelassen. Die Messwerte der in obiger Zusammenstellung enthaltenen Kabeltypen enthält die folgende Tabelle II. Die in letzterer aufgeführten Kapazitätswerte wurden je nach der Grösse des Galvanometerausschlages mit Spannungen von 36 bis 154 Volt gemessen. Letzterer betrug 180 mm bei 154 Volt und 0,001  $\mu F$ .

Tabelle II

Kabel No. 1.			Kabel No. 3.			Kabel No. 5.			Kabel No. 13.		
Temper- atur °C	Kapa- zität $10^{-3} \mu F$	Dielek- trizitäts- konstante 1	Tempe- ratur °C	Kapa- zität $10^{-3} \mu F$	Dielek- trizitäts- konstante 1	Tempe- ratur °C	Kapa- zität $10^{-3} \mu F$	Dielek- trizitäts- konstante 1	Tempe- ratur °C	Kapa- zität $10^{-3} \mu F$	Dielek- trizitäts- konstante 1
0	0,406	3,35	0	0,431	3,50	0	0,619	3,31	0	0,319	3,22
9	0,437	3,62	19,5	0,471	3,83	20	0,659	3,53	23	0,342	3,46
41,5	0,498	4,12	42,5	0,587	4,77	41,5	0,880	4,71	42	0,425	4,29
52	0,597	4,93	52,5	0,731	5,94	55	1,283	6,87	54,5	0,569	5,75
62	0,758	6,26	62	0,984	7,71	64	1,657	8,85	65,5	0,791	7,99

Fig. 2 veranschaulicht den Verlauf der Dielektrizitätskonstanten in Funktion der Temperatur.

*β) Ladung des Kabels über ein Galvanometer.*

Dieser Versuch wurde im Laboratorium der Kabelwerke Brugg A.-G. ausgeführt. Fig. 3 stellt die Versuchsanordnung dar.

Bei der Feststellung der Dielektrizitätskonstanten nach Fig. 3 mittels erster Galvanometerausschläge kam nur noch die Kabeltype No. 3 zur Verwendung. Die Versuchslänge dieses Kabels betrug 400 cm

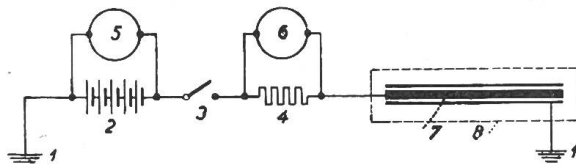


Fig. 3

Die in dieser Fig. verwendeten Ziffern haben folgende Bedeutung:

1 Erde	5 Voltmeter
2 Gleichstromquelle	6 Spiegelgalvanometer
3 Schalter	7 Kabel
4 Shunt	8 Oelbad

bei 300 Volt, die Eichung des Galvanometerausschlags wurde mit einer Normalkapazität von Siemens & Halske vorgenommen. Die ermittelten Kapazitätswerte enthalten Tabelle III, auch zeigt sie die aus letzteren berechneten Dielektrizitätskonstanten.

Tabelle III

Kabel No. 3		
Temperatur °C	Kapazität $10^{-3} \mu F$	Dielektrizitätskonstante $\epsilon \frac{10^{-12}}{0.9} \left( \frac{sec}{cm} \right)^2$
11	0,83	3,51
29	0,93	3,94
50	1,39	5,90
65	2,20	9,30
90	4,72	20,0

Der graphische Verlauf der Dielektrizitätskonstanten mit der Temperatur ist in Fig. 4 wiedergegeben.

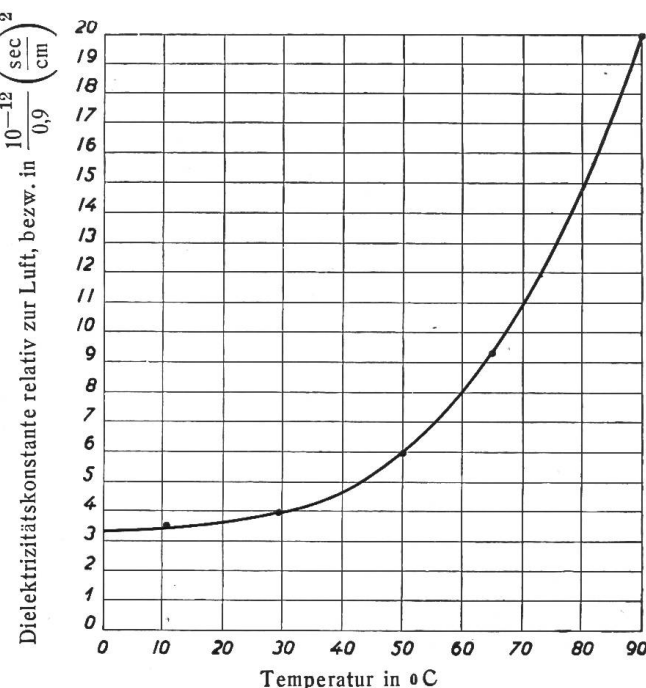
*b) Wechselstromversuche.*

Sämtliche Wechselstromversuche wurden in den Laboratorien der Kabelwerke Brugg A.-G. ausgeführt.

*a) Periodenzahl 800 bei Niederspannung.*

Bei der Untersuchung kam die von Max Wien<sup>1)</sup> für Kapazitäts- und Ableitungsmessungen ausgearbeitete Wheatstonebrücke zur Anwendung, die in Fig. 5 zu ersehen ist.

Das Versuchskabel, sowie die Einrichtung, dasselbe zu erwärmen, wurden vom vorhergehenden Versuch übernommen. Die Stromquelle 1 lieferte Wechselstrom von 800 Perioden, welcher von einem mit einer Elektronenröhre angeregten Schwingungskreise erzeugt wurde. Jeder der reaktanzfreien Widerstände 2 war auf 1000 Ohm eingestellt. Der ebenfalls reaktanzfreie Widerstand 3 konnte in den Grenzen von 0



Verlauf der Dielektrizitätskonstanten in Funktion der Temperatur für das Dielektrikum von Kabel No. 3 bei Gleichstrom.

<sup>1)</sup> M. Wien, Wied. Ann. 44, 1891, S. 689.

bis 10 000 Ohm geändert werden. Die variable Kapazität 4 war gebildet aus Glimmerkondensatoren mit parallel liegendem Luftkondensator und erlaubte eine Kapazitätsregulierung von  $60 \cdot 10^{-6} \mu F$  bis zu  $0,999 \mu F$ . Telephon und Widerstände waren Fabrikate von Siemens & Halske, der Schwingungskreis und die Kondensatoren solche von Sullivan, in London. — Bei Gleichgewicht der Brücke besteht die Proportion:

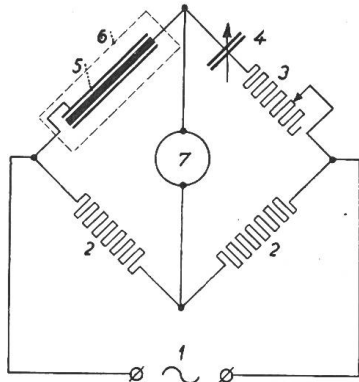


Fig. 5.

Die in dieser Fig. vorkommenden Ziffern bedeuten:

- 1 Wechselstromquelle von 10 Volt
- 2 und 3 ohmsche Widerstände
- 4 Kondensator von variabler Kapazität
- 5 Kabel
- 6 Heizvorrichtung
- 7 Telefon

Fig. 6 zeigt den Verlauf der Dielektrizitätskonstanten in Funktion der Temperatur.

### β) Periodenzahl 50, bei Hochspannung.

Eine von H. Schering<sup>2)</sup> angegebene Brückmethode, die speziell für Hochspannungsmessungen ausgedacht ist, kam bei diesem Versuch zur Anwendung. Da bei den später aufgeführten Verlustmessungen diese Methode wiederkehrt, so sei dann an jener Stelle die Apparatur, die Präparation der Kabelenden, die Abschirmmaßnahmen und andere wichtige Einzelheiten beschrieben. Auch soll das Schema und die Gleichungen erst an dieser Stelle besprochen werden. Hier seien nur die Resultate wiedergegeben, die in Tabelle V zusammengestellt und in Fig. 7 graphisch dargestellt sind.

### γ) Periodenzahl $16\frac{2}{3}$ bei Hochspannung.

Die Versuchsanordnung war, bis auf das Nullinstrument, dieselbe wie unter 1 b), β. Während bei den Untersuchungen mit einer Wechselstromquelle von der Frequenz 50 ein Vibrationsgalvanometer in die Messbrücke eingeschaltet wurde, diente zum Versuche mit einer Wechselstromquelle von  $16\frac{2}{3}$  Perioden ein Saitengalvanometer zur Festlegung des Brückengleichgewichtes. Diese Änderung wurde vorgenommen, da das verwendete Vibrationsgalvanometer für  $16\frac{2}{3}$  Perioden keine Resonanzlage besaß.

$$\frac{C_K}{R_2} = \frac{C_V}{1 + C_V^2 R_V^2 \omega^2} \cdot \frac{R_1}{R_2}.$$

Dabei bedeutet  $C_K$  die zu messende Kapazität des Kabels,  $C_V$  die Kapazitätseinstellung des Kondensators 4,  $R_1$  den Widerstand im Brückenzweig des Kabels,  $R_2$  den konstanten,  $R_V$  den variablen Widerstand im Brückenzweig des Drehkondensators 4 und  $\omega = 2\pi f$ , wenn  $f$  die Frequenz ist.

Die bei den verschiedenen Kabeltemperaturen gemessenen Kapazitätswerte, sowie die sich daraus ergebenen Dielektrizitätskonstanten sind in Tab. IV aufgeführt.

Tabelle IV

Kabel No. 3		
Temperatur °C	Kapazität $10^{-3} \mu F$	Dielektrizitätskonstante $\epsilon \frac{10^{-12}}{0.9} \left( \frac{\text{sec}}{\text{cm}} \right)^2$
11	0,86	3,50
19	0,84	3,41
29	0,83	3,38
50	0,87	3,54
65	0,87	3,54
90	0,88	3,58

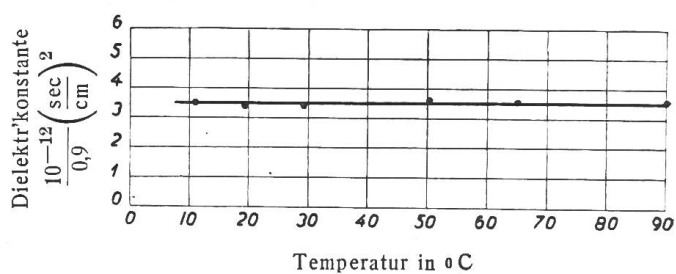


Fig. 6

Dielektrizitätskonstante der Kabelisolation bei verschiedenen Temperaturen derselben von Kabel No. 3 bei Wechselstrom und 800 Per.

<sup>2)</sup> H. Schering, Zeitschrift für Instrumentenkunde 40, 1920, S. 124.

Die Untersuchung der Temperaturabhängigkeit der Dielektrizitätskonstanten bei der Frequenz  $16\frac{2}{3}$  zeigte die gleichen Resultate wie bei der Frequenz 50. Die in Fig. 7 veranschaulichten Versuchsergebnisse sind deshalb auch für die Frequenz  $16\frac{2}{3}$  als zutreffend festgestellt.

Tabelle V

Temperatur °C	Kabel No. 3				
	Messspannung 30 kV		Messspannung 45 kV		
	Kapazität $10^{-3} \mu F$	Dielektrizitätskonstante $\epsilon \frac{10^{-12}}{0,9} \left( \frac{\text{sec}}{\text{cm}} \right)^2$	Kapazität $10^{-3} \mu F$	Dielektrizitätskonstante $\epsilon \frac{10^{-12}}{0,9} \left( \frac{\text{sec}}{\text{cm}} \right)^2$	
11	0,814	3,45	0,876	3,71	
29	0,832	3,53	0,876	3,71	
50	0,845	3,58	0,890	3,77	
65	0,845	3,58	0,890	3,77	
90	0,863	3,66	0,915	3,88	

bleibende Ausschläge zu beobachten waren und wobei die Eichung des Galvanometers über einen Vergleichswiderstand von 100 000 Ohm erfolgte. Die Messung wurde wiederum in Brugg am Kabel No. 3 mit der Länge von 400 cm vorgenommen. Die dabei ermittelten Leitfähigkeiten sind aus Tabelle VI zu ersehen. Die bezüglichen Werte wurden aus demjenigen Galvanometerausschlag berechnet, der sich nach einer Minute Stromdurchgang durch das Kabel dielektrikum einstellte.

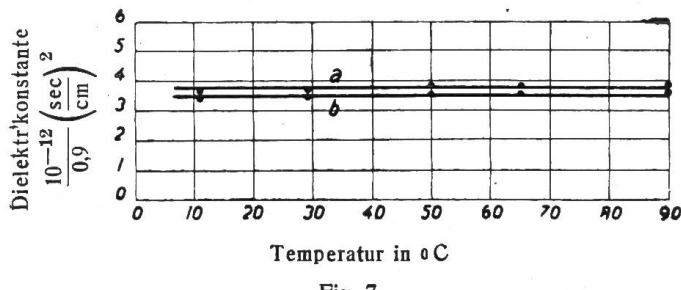


Fig. 7

Dielektrizitätskonstante der Kabelisolation bei verschiedenen Temperaturen derselben von Kabel No. 3 bei Wechselstrom, 50 Perioden und den Messspannungen 45 kV, Kurve a, und 30 kV, Kurve b.

Fig. 8 zeigt den Verlauf der Leitfähigkeit in Abhängigkeit von der Temperatur.

#### b) Wechselstromversuch bei Hochspannung.

Die unter 1 b) erwähnte Messbrücke diente zu dieser Untersuchung. Es sei nun hier, wie vorgesehen, auf die Beschreibung der Methode eingetreten. Fig. 9 zeigt die Anordnung schematisch.

Der Kondensator  $C_L$  muss verlustfrei sein. Zu diesem Zwecke wurde ein Zylinderkondensator mit Luft als Dielektrikum gebaut. Der äußere Zylinder, der an beiden Enden zu Trichtern erweitert war, erhielt den nicht geerdeten Pol des Transformators. Der innere Zylinder wurde koaxial in den äußeren Zylinder gestellt und war in drei Zylinder unterteilt. Während die beiden äußeren Zylinder dieser Unterteilung an Erde lagen, war der mittlere Zylinder von Erde isoliert. Damit wollte man ein möglichst gleichförmiges elektrisches Feld im Luftkondensator schaffen. Das Auftreten von Sprühverlusten wurde durch Auslaufen der Zylinder in Wulste und Kugelflächen vermieden. Das Verhältnis der Radien des äußeren und des inneren Zylinders betrug  $e$ , die Basis der natürlichen Logarithmen. In diesem Falle ist die Kapazität in cm gerade gleich der halben Länge des inneren mittleren Zylinders, die bei der vorliegenden Konstruktion 40 cm ausmacht. Im Dunkeln zeigte dieser Luftkondensator bei 100 kV Spannung noch kein Glimmen. Mit dem Messtisch, der die reaktanzfreien Widerstände  $R_1$  und  $R_2$  und die variable Kapazität  $C_V$  trug, ging

#### 2. Temperaturabhängigkeit der Leitfähigkeit des Dielektrikums.

##### a) Gleichstromversuch bei Niederspannung.

Die Versuchseinrichtung war die in Fig. 3 dargestellte, wobei aber am Galvanometer nicht mehr erste Ausschläge, sondern

dabei ermittelten Leitfähigkeiten sind aus Tabelle VI zu ersehen. Die bezüglichen Werte wurden aus demjenigen Galvanometerausschlag berechnet, der sich nach einer Minute Stromdurchgang durch das Kabel dielektrikum einstellte.

Tabelle VI

Temperatur °C	Kabel No. 3	
	Leitfähigkeit der Versuchslänge $10^{-12} \text{ Ohm}$	Leitfähigkeit pro cm $10^{-12} \text{ Ohm}$
11	6,0	0,0150
29	11,1	0,0278
50	32,6	0,0815
65	114	0,285
90	835	2,09

man, um die Kapazität der Leitungen möglichst klein zu halten, bis auf ca. 3 m an die Hochspannung heran. Damit jedoch die Messapparate auf dem Tische durch die elektrischen Felder der Hochspannung führenden Teile nicht beeinflusst wurden, umgab ein feinmaschiges geerdetes Drahtgewebe den Messtisch. Die Zuleitungen zu letzterem verliefen in weiten geerdeten Bleirohren. Parallel zu den Widerständen  $R_1$  und  $R_2$  lagen Funkenstrecken, um bei einem eventuellen Durchschlag der Hochspannung die Apparate zu erden.  $R_1$  und  $R_2$  konnten in den Grenzen von 0 bis 11110 Ohm variiert werden.  $C_V$  erlaubte Kapazitätswerte von 0,0001  $\mu F$  einzustellen. Die Apparate waren Fabrikate von Siemens & Halske, das Vibrationsgalvanometer, welches bei der Frequenz 50 und 500 Ohm Widerstand pro ein Mikroampere 60 mm Ausschlag auf 1 m Skalenabstand gab, war ein

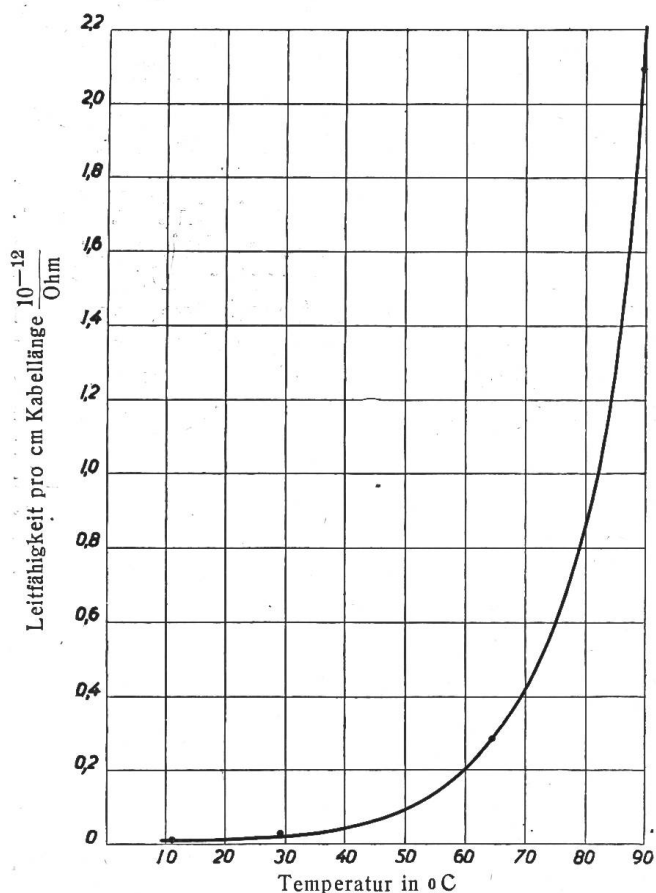


Fig. 8

Leitfähigkeit in Funktion der Temperatur des Dielektrikums von Kabel No. 3 bei 300 Volt Gleichstrom.

Fabrikat der Firma „The Cambridge and Paul Instrument Company“, in London.

Zur Vermeidung der Oberflächenentladungen an den Kabelenden wurden die auf 1 m Länge des Bleimantels entblößten Enden in Hartpapierrohre verlegt und letztere mit Kabelmasse ausgegossen. Zur Abfuhr allfälliger Kriechfunken wurde an den Enden des Bleimantels je ein 4 cm langer Ring abgetrennt, der geerdet wurde. Die Länge des Kabels mit unversehrtem Bleimantel betrug 400 cm. Die Untersuchung wurde nur an der Kabeltype No. 3 vorgenommen, wofür folgende Begründung in Betracht fällt. Die beschriebene Messbrücke gestattete genaue Messungen bis hinunter zu 30 kV. Die Kabel No. 5 und 13, die Betriebsspannungen von 6 und 8 kV besitzen, schieden somit aus. Das Kabel No. 1 mit einer Betriebsspannung von 30 kV hätte eine sehr kostspielige Heizeinrichtung bedingt, deren Beschaffung sich nicht rechtfertigte, da die Fabrikation der Kabel No. 1, 3, 5 und 13 aus einem und demselben Fabrikationsgang hervorging und somit wesentlich verschiedene Messresultate nicht zu erwarten waren.

Was die Theorie der Scheringschen Messbrücke anbelangt, so sei hier auf die betreffende Literatur<sup>3)</sup> hingewiesen. Die Relation:

$$C_k = C_L \frac{R_2}{R_1}$$

<sup>3)</sup> A. Semm, Verlustmessungen bei Hochspannung. Archiv für Elektrotechnik 9, 1920, S. 30.

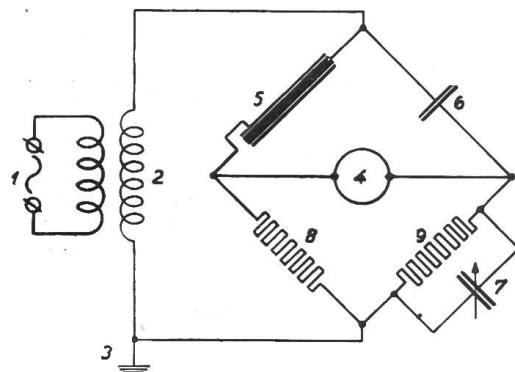


Fig. 9

Die verwendeten Ziffern bedeuten:

1 Wechselstromquelle, 50 Perioden  
2 Transformator  $\frac{625}{150\,000}$  Volt

3 Erde.  
4 Vibrationsgalvanometer  
5 Kabel ( $C_k$ )  
6 Luftkondensator ( $C_L$ )  
7 Variabler Kondensator ( $C_V$ )  
8 ( $R_1$ ) u. 9 ( $R_2$ ) Ohmsche Widerstände

diente uns im Abschnitte 1 *b), β)* zur Berechnung der Kapazitätswerte der Tabelle IV. Der Ausdruck:

$$W_D = \frac{V^2}{R_1} \frac{C_L}{C_v} \sin^2 \delta$$

stellt nun die Verluste im Kabeldielektrikum dar, wobei  $V$  die angelegte Spannung und  $\delta$  den Verlustwinkel im Brückenzweig des Kabels bedeuten. Die Beziehung

$\operatorname{tg} \delta = -R_2 C_v \omega$  gestattet die Berechnung des Verlustwinkels. Für kleine Winkel, was im vorliegenden Fall zutrifft, kann  $\operatorname{tg} \delta = \sin \delta$  gesetzt werden. Der Phasenwinkel  $\varphi$  im Kabeldielektrikum ist das Komplement des Winkels  $\delta$ . Die folgende Zusammenstellung (links von Tabelle VI) orientiert über die beim Brückengleichgewicht abgelesenen Apparateeinstellungen.

Aus obigen Daten lassen sich der Leistungsfaktor  $\cos \varphi$  des Kabels, sowie dessen Verluste zu den in der Tabelle VII aufgeführten Werten berechnen. Fig. 10 zeigt graphisch den Verlauf dieser Werte über der Temperatur.

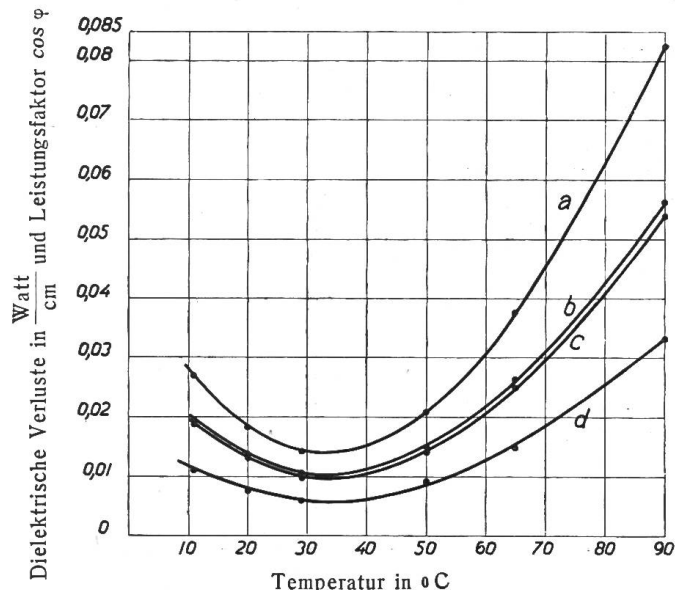


Fig. 10

Dielektrische Verluste und Leistungsfaktor im Dielektrikum vom Kabel No. 3

- Kurve a: Verluste bei 45 kV,
- „ b:  $\cos \varphi$  bei 45 kV,
- „ c:  $\cos \varphi$  bei 30 kV,
- „ d: Verluste bei 30 kV.

Die Untersuchung wurde an den Kabeln No. 1, 3, 5 und 13 durchgeführt. Während des Versuches war das zu untersuchende Kabel frei im Raum horizontal aufgehängt. Bei Beginn der Versuche zeigte sich, dass ein nicht unwesentlicher Teil

### 3. Temperaturabhängigkeit des Wärmewiderstandes.

#### a) Elektrische Heizung.

Dieser Versuch wurde im Laboratorium der Kabelwerke Brugg A.-G. ausgeführt. Die Versuchsanordnung gibt Fig. 11 wieder.

Tabelle VII

Temperatur °C	Kabel No. 3						Kabel No. 3			
	Messspannung 30 kV			Messspannung 45 kV			Messspannung 30 kV		Messspannung 45 kV	
	$R_1$ Ohm	$R_2$ Ohm	$C_v$ $\mu F$	$R_1$ Ohm	$R_2$ Ohm	$C_v$ $\mu F$	$\cos \varphi$	Verluste Watt cm	$\cos \varphi$	Verluste Watt cm
11	218	4000	0,015	203	4000	0,0155	0,019	0,0111	0,0195	0,0270
20	174	3190	0,013	164	3190	0,0135	0,013	0,0075	0,0135	0,0185
29	170	3180	0,010	161	3180	0,0105	0,010	0,0059	0,0105	0,0139
50	210	4000	0,011	200	4000	0,0115	0,014	0,0085	0,0145	0,0205
65	105	2000	0,040	100	2000	0,042	0,025	0,0149	0,0265	0,0375
90	103	2000	0,086	97	2000	0,090	0,054	0,0331	0,0565	0,0825

der im Kabel erzeugten Wärmemenge durch den an letzteres angeschlossenen Stromtransformator abgeführt wurde. Durch die Verkleinerung des Leiterquerschnittes der Kabelenden, die sich infolgedessen etwas über die allgemeine Leiterrichter Temperatur erwärmt, wurde diese Erscheinung behoben. Damit die wärmeren Kabelenden die Messung nicht beeinflussten, wurden die Versuchskabel möglichst lang genommen

und die Thermoelemente in der Mitte der Kabelstücke angebracht; Kabel No. 5 und 13 waren je 26 m, Kabel No. 1 und 3 je 14 m lang. Die Thermoelemente bestanden aus Kupfer und Konstantan. Das Millivoltmeter besass eine in Grad Celsius geeichte Skala.

Für verschiedene Stromstärken wurde der stationäre Wärmezustand abgewartet, der sich nach ca. 3 Stunden einstellte, und darauf die Temperaturen von Leiter und Bleimantel abgelesen. Die Messdaten finden sich in Tabelle VIII.

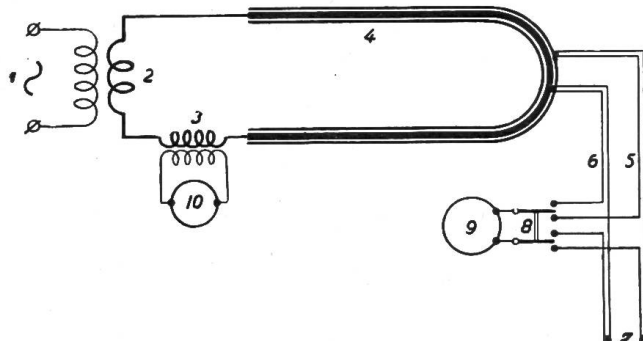


Fig. 11.

Die Ziffernhinweise haben folgende Bedeutung:

1 Stromquelle, 250 Volt, 50 Perioden	5 Thermoelement im Bleimantel	8 Umschalter
2 Stromtransformator	6 Thermoelement in der Kabelseele	9 Millivoltmeter
3 Messwandler	7 Thermoelement in der Luft	10 Amperemeter
4 Kabel		

Tabelle VIII

Kabel No.	Leiter- strom Ampere	Stromwärme Watt cm	Uebertemperatur		Temperatur- Differenz °C	Temperatur	
			Mantel °C	Leiter °C		des Raumes °C	des Leiters °C
1 <sup>1)</sup>	0	0	0	0	0	5	5
	274	0,10	6	15,5	9,5	6	21,5
	400	0,23	13,5	35,5	22	6,5	42
	480	0,36	22	57	35	7	64
3	0	0	0	0	0	6	6
	260	0,125	10	20,5	10,5	7	27,5
	340	0,228	18	37,5	19,5	7,5	45
	440	0,424	34	69,5	35,5	8	77,5
5	0	0	0	0	0	6,5	6,5
	105	0,068	11	15	4	8	23
	164	0,182	30	40,5	10,5	10	50,5
	200	0,295	48	65	17	10,5	75,5
13	0	0	0	0	0	6	6
	73	0,06	10	16,5	6,5	7,5	24
	102	0,126	21	34,5	13,5	7,5	42
	129	0,222	37	60	23	7,5	67,5

<sup>1)</sup> Dieses Kabel hatte 14 mm Isolationsdicke, während das früher genannte Kabel No. 1 12 mm Isolationsdicke besass.

Zur Berechnung der in letzter Tabelle aufgeführten Stromwärme wurden folgende Konstanten verwendet:

spezifischer Widerstand des Kupfers bei  $15^{\circ}\text{C}$  = 0,0175 Ohm/m und  $\text{mm}^2$ ,  
spezifischer Widerstand des Aluminiums bei  $15^{\circ}\text{C}$  = 0,03 Ohm/m und  $\text{mm}^2$ ,  
Temperaturkoeffizient des Kupfers 0,004 pro  $1^{\circ}\text{C}$ ,  
Temperaturkoeffizient des Aluminiums 0,0037 pro  $1^{\circ}\text{C}$ .

In den Fig. 12 und 13 sind die Messdaten graphisch aufgetragen.

Die Fig. 12 und 13 zeigen, dass die Temperaturdifferenz zwischen Kabelseele und Bleimantel proportional der in dem Leiter produzierten Wärmemenge  $W_s$  ist.

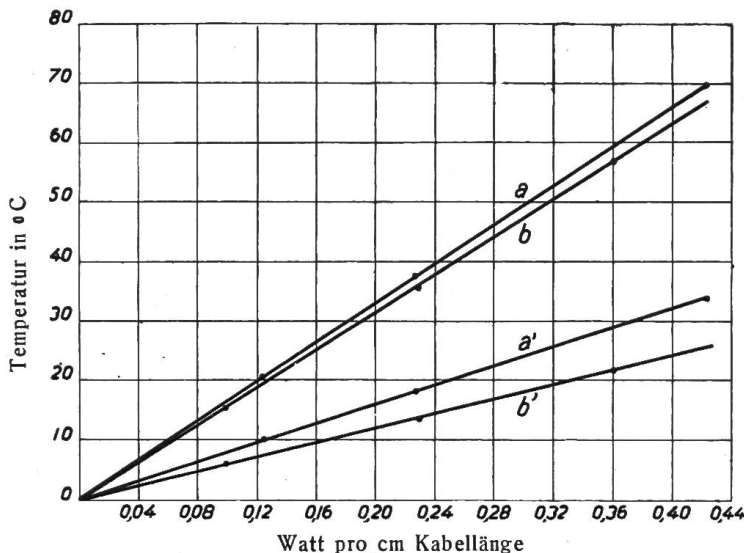


Fig. 12.

Uebertemperaturen der Kabel No. 1 und 3 in Funktion der in der Kabelseele produzierten Stromwärme.

Kurve a : Leiterübertemperatur von Kabel No. 3,  
 " b : Leiterübertemperatur von Kabel No. 1,  
 " a' : Mantelübertemperatur von Kabel No. 3,  
 " b' : Mantelübertemperatur von Kabel No. 1.

Bedeutet  $t_1$  die Temperatur der Kabelseele,  $t_2$  diejenige des Bleimantels,  $r_1$  den Radius des Leiters,  $r_2$  denjenigen bis unter den Mantel und  $\sigma$  den spezifischen Wärmewiderstand, dann drückt sich die Temperaturdifferenz aus durch

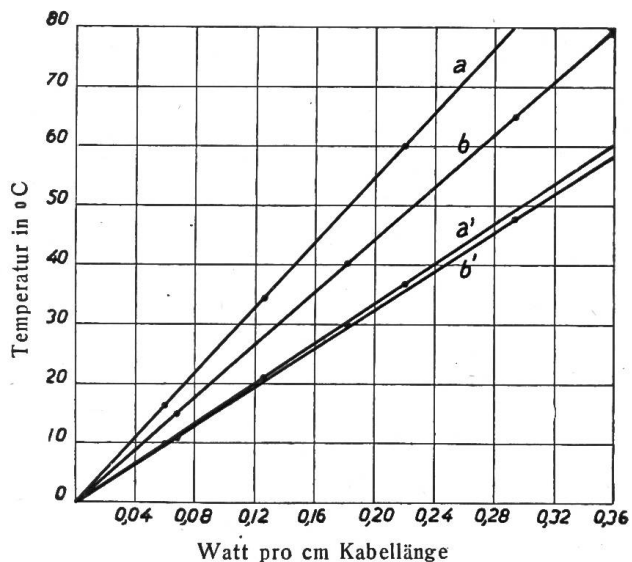


Fig. 13.

Uebertemperaturen der Kabel Nr. 5 und 13 in Funktion der in der Kabelseele produzierten Stromwärme.

Kurve a : Leiterübertemperatur von Kabel No. 13,  
 " b : Leiterübertemperatur von Kabel No. 5,  
 " a' : Mantelübertemperatur von Kabel No. 13,  
 " b' : Mantelübertemperatur von Kabel No. 5.

$$t_1 - t_2 = \frac{\sigma}{2\pi} \lg \frac{r_2}{r_1} W_s$$

insofern  $\sigma$  unabhängig ist von der Temperatur. Letzteres trifft zu infolge der oben genannten Proportionalität zwischen Temperaturdifferenz und Wärmemenge  $W_s$ ; deshalb kann diese Gleichung zur Bestimmung des Wertes von  $\sigma$  verwendet werden.

Tabelle IX enthält die Werte von  $\sigma$  für die untersuchten Kabel.

Tabelle IX

Kabel No.	Spezifisch. Wärmewiderstand in Watt/cm und 1°C	Mittelwert des Wärmewiderst.
1	580	
3	565	
5	580	
13	575	575

### b) Dampfheizung.

Diese Untersuchung wurde im physikalischen Institut der Eidgenössischen Technischen Hochschule durchgeführt. Die benutzte Methode geht aus Fig. 14 hervor.

Bei diesem Versuche wurde Kabel No. 1 verwendet. Die Länge des Bleimantels betrug 54 cm, die Leiterlänge 69 cm, von diesen ragten je 6 cm ins Kalorimeter. Der Kabelmantel wurde mittels des Dampfzylinders 2 auf 100° C gehalten.

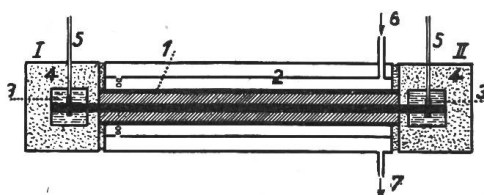


Fig. 14.

Die benutzten Ziffern haben folgende Bedeutung:

1 Kabel	4 Wärmeisolation	7 Dampfableitung
2 Dampfzylinder	5 Thermometer	I } Kalorimeter
3 Kalorimeter	6 Dampfzuleitung	II } links u. rechts

Die Kalorimeter 3 bestanden aus Messingblech und enthielten je 80 cm<sup>3</sup> destilliertes Wasser. Ihre Wärmeisolation bestand aus einer mit Kabok angefüllten Holzkiste 4. Die erhaltenen Thermometerablesungen sind in den folgenden Tabellen X und XI zusammengestellt:

Tabelle X

Zeit Min.	Temperatur im		Temperatur- Zuwachs °C
	Kalorimeter I °C	Kalorimeter II °C	
0	30,0	30,0	
3	33,8	33,8	3,8
6	37,3	37,3	3,5
9	40,2	40,2	3,3
12	43,7	43,7	3,1
15	46,6	46,6	2,9
18	49,3	49,3	2,7
21	51,8	51,8	2,5
24	54,1	54,1	2,3
27	56,2	56,2	2,1
30	58,1	58,1	1,9
33	59,8	59,8	1,7
36	61,4	61,4	1,6
39	62,8	62,8	1,4
42	64,1	64,1	1,3
45	65,3	65,3	1,2
48	66,4	66,4	1,1
51	67,4	67,4	1,0
54	68,4	68,4	1,0
57	69,3	69,3	0,9
60	70,2	70,2	0,9
66	71,9	71,9	1,7
72	73,3	73,3	1,4
78	74,5	74,5	1,2
84	75,5	75,5	1,0
90	76,4	76,4	0,9
96	77,3	77,3	0,9
102	78,1	78,1	0,8
108	78,9	78,9	0,8
114	79,5	79,5	0,6

Tabelle XI

Zeit Min.	Temperatur im Kalorimeter II °C	Temperatur- Abnahme °C
	80,0	
	77,8	2,2
	75,7	2,1
	73,7	2,0
	71,7	2,0
	69,8	1,9
	67,9	1,9
	66,1	1,8
	64,3	1,8
	62,5	1,8
	60,8	1,7
	59,1	1,7
	57,4	1,7
	55,7	1,7
	54,1	1,6
	52,5	1,6
	50,9	1,6
	49,3	1,6
	47,8	1,5
	46,3	1,5
	44,8	1,5
	43,3	1,5
	41,8	1,5
	40,4	1,4
	39,0	1,4
	37,6	1,4
	36,2	1,4
	34,9	1,3
	33,6	1,3
	32,3	1,3
	31,0	1,3

Kalorimeterabkühlung zufolge der Wärmeverluste von 6 zu 6 Minuten

Die Wärmemenge, die die Kabelisolation durchsetzte, wurde aufgenommen von:

Tabelle XII

Stoff	Quantum in kg	Spez. Wärme	kg cal/1° C
Wasser . . . . .	0,160	1	0,160
Kupfer . . . . .	0,880	0,094	
Lötzinn . . . . .	0,030	0,044	
Messing . . . . .	0,135	0,092	
Kabelmasse zwischen den verseilten Leitern . . .	0,029	0,5	0,015

Ein weiterer Teil der Wärme wurde durch die Kalorimeter nach aussen abgegeben. Der dreiminutliche Temperaturzuwachs muss daher nach Massgabe der Kalorimeterverluste korrigiert werden. Es sei nun für sechs verschiedene Temperaturen der Kabelseele der spezifische Wärmewiderstand  $\sigma$  berechnet, wozu folgende Daten dienen:

Tabelle XIII

Kabelseele- Temperatur ° C	Temp.-Differenz Seele-Mantel ° C	Temperaturzunahme der Kalorimeter innert 3 Minuten	
		mit Verlust ° C	ohne Verlust ° C
31,9	68,1	3,8	4,45
42,2	57,8	3,1	3,85
50,6	49,4	2,5	3,3
60,6	39,4	1,6	2,5
70,7	29,3	0,9	1,9
79,2	20,8	0,3	1,4

Für obige sechs Temperaturdifferenzen ergeben sich folgende, in Watt ausgedrückte Wärmemengen pro Zeiteinheit:

Tabelle XIV

Temp.-Differenz Seele-Mantel ° C	Durch das Kabel getretene kg/cal innert:		Durch das Kabel beförderte Watt auf die Länge:	
	3 Min.	1 Sek.	54 cm	1 cm
68,1	1,210	0,00672	28,2	0,522
57,8	1,047	0,00582	24,4	0,452
49,4	0,897	0,00498	20,9	0,388
39,4	0,680	0,00378	15,9	0,295
29,3	0,517	0,00287	12,3	0,223
20,8	0,381	0,00211	8,85	0,164

Aus Tabelle XIV ist zu ersehen, dass zwischen der Temperaturdifferenz: Seele-Mantel und der durch die Kabelisolation beförderten Wärme in Watt annähernd Proportionalität besteht. Die von der Proportionalität unwesentlichen Abweichungen liegen im Bereich der Messfehler. Wiederum kann gefolgert werden, dass der spezifische Wärmewiderstand von der Temperatur in den Grenzen von 0 bis 100° C unabhängig ist. Auf gleiche Art gerechnet wie unter a), ergeben sich die in der Tabelle XV zusammengestellten Werte für  $\sigma$ .

Der Mittelwert des aus Tabelle IX entnommenen spezifischen Wärmewiderstandes ist nicht unwesentlich kleiner als derjenige nach Tabelle XV. Dies erklärt sich aus folgendem: Um während des Dampfversuches ein Ausfliessen der Kabel-

masse, das einen Wärmeverlust bewirkt hätte, möglichst zu vermeiden, wurde das Kabelstück vor dem Versuch erwärmt, wodurch etwas Kabelmasse verloren ging.

Tabelle XV

Kabel No. 1		
Temp.-Differenz Seele-Mantel °C	Spezif. Wärmewiderstand Watt per cm u. 1°C	Mittelwert $\sigma$ Watt per cm u. 1°C
68,1	775	
57,8	765	
49,4	755	770
39,4	790	
29,3	780	
20,8	755	

Da nun nichtimprägniertes Papier einen höhern Wärmewiderstand als die Kabelmasse besitzt, folgt, dass  $\sigma$  beim Versuch mit Dampfheizung höher ausfallen musste, als beim Versuch mit elektrischer Heizung.

## II. Die Auswertung der Versuchsergebnisse.

### 1. Die Spannungsbeanspruchung im Gleichstromkabel bei Normalspannung.

Aus der Kurve in Fig. 8 ist zu ersehen, dass die Leitfähigkeit der untersuchten Kabeldielektrika bei Spannungen die kleiner, gleich oder unwe sentlich höher als die Normalspannung des Kabels sind, sehr klein ist, sofern die Temperatur des Dielektrikums ca. 100 °C nicht übersteigt. Vom praktischen Standpunkte aus erscheint es deshalb als angezeigt, zwecks Erleichterung der Berechnung der Spannungsverteilung, von der geringen Leitfähigkeit abzusehen und die Kabelisolierung als die Hintereinanderschaltung von lauter Elementarzylindern, die reine Kapazitäten darstellen, aufzufassen.

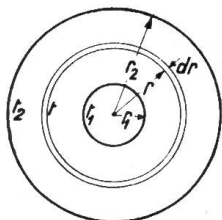


Fig. 15

Kabelquerschnitt.

In Fig. 15 bedeute:  $r_1$  den Außenradius des Leiters in cm und  $t_1$  die Temperatur daselbst in °C,  $r_2$  den Innenradius des Bleimantels und  $t_2$  die Temperatur daselbst,  $r$  resp.  $t$  den Radius, resp. die Temperatur eines Elementarzylinders. Die Kabellänge betrage 1 cm. Der dielektrische Widerstand des Elementarzylinders wird ausgedrückt durch:

$$\frac{4\pi}{\epsilon} \frac{dr}{2\pi r} = 2 \frac{dr}{r\epsilon},$$

wo  $\epsilon$  die Dielektrizitätskonstante des Isolierstoffes bedeutet.

Zwischen Leiter und Bleimantel integriert, ergibt sich:

$$\text{Dielektrischer Widerstand} = 2 \int_{r_1}^{r_2} \frac{dr}{r\epsilon}.$$

$\epsilon$  verbleibt im Integral, da es zufolge seiner Temperaturabhängigkeit (siehe Fig. 2 und 4), und wegen des Vorhandenseins eines Temperaturgefälles zwischen Leiter und Bleimantel, eine Funktion des Radius  $r$  ist.

Der Induktionsfluss im Kabeldielektrikum stellt sich dar durch:

$$\frac{V}{2 \int_{r_1}^{r_2} \frac{dr}{r\epsilon}} = \frac{dV}{dr} \frac{2\pi r\epsilon}{4\pi},$$

wo  $V$  die Spannung zwischen Leiter und Bleimantel ist. Es folgt nun, gültig für alle Massysteme:

$$\frac{dV}{dr} = \frac{V}{r \epsilon \int_{r_1}^{r_2} \frac{dr}{r \epsilon}} \quad (1)$$

als Gleichung für die Spannungsverteilung in der Kabelisolation. Es soll nun durch eine weitere Gleichung die Temperaturverteilung zwischen Leiter und Bleimantel festgelegt werden. Als Wärmequelle sei nur, wie in der Einleitung bereits auseinandergesetzt wurde, die Joulesche Wärme des Leiters (Betriebsstromwärme) in Berücksichtigung gezogen.

Fließt durch den Leiter, dessen Widerstand bei der Temperatur  $t_1$   $^0\text{C}$  pro 1 cm Länge  $R$  Ohm betrage, ein Strom von  $I$  Ampere, dann ergibt sich die pro 1 cm Leiterlänge erzeugte Wärmemenge  $W$  in Watt zu:

$$W = I^2 R.$$

Da bei praktischen Kabellängen die Wärmeabfuhr in axialer Richtung klein ist, tritt die Wärmemenge  $W$  fast restlos radial durch die Isolation nach aussen. Mit hinreichender Genauigkeit darf daher gemäss Fig. 15 folgender Ansatz gemacht werden:

$$W = - \frac{2\pi}{\sigma} r \frac{dt}{dr}.$$

Dabei bedeutet  $\sigma$  den spezifischen Wärmewiderstand der Isolation in Watt pro cm und Grad Celsius, und ist, gemäss den Untersuchungen im Abschnitt I, 3, eine in den Grenzen von 0 bis  $100^0\text{C}$  von der Temperatur unabhängige Grösse; die Integration obigen Ausdruckes liefert daher:

$$t_1 - t = W \frac{\sigma}{2\pi} \lg \frac{r_1}{r} \quad (2)$$

als Gleichung für die gesuchte Temperaturverteilung.

Es handelt sich nun darum,  $\epsilon$  in Gleichung (1) durch  $r$  auszudrücken. Dies wird erreicht durch die analytische Einkleidung der  $(\epsilon, t)$  Kurve einerseits und der Verwendung der Gleichung (2) anderseits.  $\epsilon$  schmiegt sich der folgenden  $t$  Funktion an:

$$\epsilon = \epsilon_0 e^{at}.$$

Hierin sind:  $\epsilon_0$  die Dielektrizitätskonstante bei  $0^0\text{C}$ ,  $e$  die Basis der natürlichen Logarithmen und  $a$  eine Konstante;  $a$  liegt zwischen 0,01 und 0,02, je nach dem betrachteten Temperaturbereich. Für Temperaturen von 0 bis  $50^0\text{C}$  eignet sich  $a = 0,01$ , für Temperaturen über  $50^0\text{C}$  erscheint  $a = 0,02$  dem Verlauf der Kurve besser angepasst. Eliminiert man zunächst die Temperatur  $t$  in Gleichung (2) mittels dieser  $(\epsilon, t)$  Funktion, darauf  $\epsilon$  in Gleichung (1) durch seine Abhängigkeit vom Radius  $r$ , dann gewinnt man die endgültige Form der Gleichung der Spannungsverteilung, welche lautet:

$$\frac{dV}{dr} = \frac{a \sigma W V}{2\pi \left[ e^{\frac{a \sigma W}{2\pi} \lg r_2} - e^{\frac{a \sigma W}{2\pi} \lg r_1} \right]} \cdot \frac{e^{\frac{a \sigma W}{2\pi} \lg r}}{r} \quad (3)$$

Diese Gleichung ist leichter verständlich, wenn man zuerst den Spezialfall  $\frac{a \sigma W}{2\pi} = 1$  betrachtet; die Gleichung (3) geht dann über in:

$$\frac{dV}{dr} = \frac{V}{r_2 - r_1}$$

und besagt, dass die Spannungsverteilung in diesem Spezialfalle homogen ist. Man sieht also, dass prinzipiell bei einer bestimmten, vom Kabelleiter entwickelten Wärme-

menge  $W$ , die gleichförmige Spannungsbeanspruchung in der Kabelisolation erreicht werden kann. Ob dieses bestimmte  $W$  in praktischen Bereichen liegt, soll im folgenden beurteilt werden.

$a$  sei zu 0,02 festgelegt,  $\sigma$  beträgt nach den früheren Untersuchungen 575 Watt/cm und  $1^{\circ}\text{C}$ , hiermit wird  $W$  gleich 0,546 Watt per 1 cm Kabellänge, was bei dem Kabel No. 3 einem Leiterstrom von 490 Ampere entspricht, der also nicht übermäßig von seinem 350 Ampere betragenden Normalstrom entfernt ist. Es sei jedoch bemerkt, dass für das soeben berechnete Beispiel die LeiterTemperatur schon ca.  $80^{\circ}\text{C}$  beträgt. Immerhin ist zu erkennen, dass die Spannungsverteilung im Kabeldielektrikum auch bei weniger hoch liegenden Temperaturen des Leiters ganz beträchtlich anders ausfällt, als mittels der sonst üblichen Gradientenformel:

$$\frac{dV}{dr} = \frac{V}{r \lg \frac{r_2}{r_1}}$$

Um eine gute Einsicht über den Einfluss der Stromwärme des Kabelleiters auf die Spannungsbeanspruchung in der Kabelisolation zu erhalten, sei für die untersuchten Kabel No. 1, 3, 5 und 13 der maximale Spannungsgradient in Funktion des Leiterstromes gegeben. Die bezügliche Rechnung könnte ohne weiteres nach Gleichung (3) erfolgen, jedoch soll die gestellte Aufgabe auf graphischem Wege, der bei dieser Gelegenheit seine Erörterung findet, gelöst werden.

Zuerst ist das Temperaturgefälle zwischen Leiter und Bleimantel aufzuzeichnen; dazu dient Gleichung (2). Letztere erfordert die Annahme der Temperatur  $t_1$ , sowie die Kenntnis der Wärmemenge, die bei einer vorliegenden Raumtemperatur notwendig ist, um den Leiter auf  $t_1^{\circ}$  zu bringen. Ist die Temperatur  $t_1$  angenommen, dann ist aus Figuren, wie 14 und 15, die erforderliche Wärmeleitung zu entnehmen. Die ermittelte  $(t, r)$  Kurve, vereint mit der  $(\varepsilon, t)$  Kurve, ergibt eine  $(\varepsilon, r)$  Kurve. Es ist nun das Produkt  $\varepsilon \cdot r$  und dessen reziproker Wert, wie es Gleichung (1) vorschreibt, in Abhängigkeit des Radius  $r$  zu zeichnen. Die Ausplanimetrierung der

Kurve  $\frac{1}{\varepsilon \cdot r}$  liefert den Integralwert von Gleichung (1), während das gleichzeitig fest-

stellbare Minimum der  $(\varepsilon, r)$  Kurve in diese Gleichung eingesetzt wird, wobei der Maximalwert des Spannungsgradienten aus ihr hervorgeht. Aus der Aufzeichnung der  $(\varepsilon, r)$  Kurve ist gleichzeitig noch ersichtlich, in welchem Abstand  $r$  vom Kabelzentrum das gesuchte Maximum der Spannungsbeanspruchung liegt. Die gesuchte Kurve der Abhängigkeit des maximalen Spannungsgradienten vom Leiterstrom kann jedoch erst gezeichnet werden, wenn der soeben beschriebene graphische Weg für verschiedene Leitertemperaturen  $t_1$  durchgeführt worden ist.

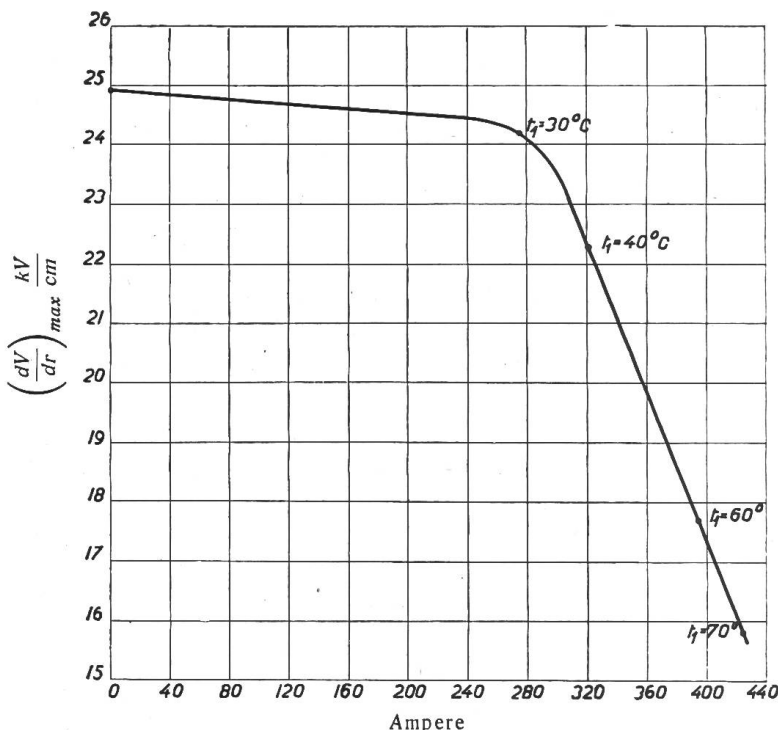


Fig. 16

Maximaler Spannungsgradient in Funktion des Leiterstromes von Kabel No. 3 bei Gleichstrom. Bei homogener Spannungsverteilung beträgt der Gradient 15 KV/cm.  $t_1$  bedeutet die LeiterTemperatur, die Raumtemperatur ist  $7^{\circ}\text{C}$ . Bei  $t_1 = 30, 40$  und  $50^{\circ}\text{C}$  liegt der maximale Gradient an der Leiteroberfläche entsprechend einem Radius  $r_1 = 0,65$  cm. Der Mantelradius beträgt  $r_2 = 1,65$  cm. Bei  $t_1 = 70^{\circ}\text{C}$  liegt der maximale Gradient bei  $r = 0,85$  cm.

In vorliegendem Beispiel wurde die Rechnung für die Temperaturen  $t_1 = 30, 40, 60$  und  $70^\circ\text{C}$  durchgeführt und eine Raumtemperatur von  $7^\circ\text{C}$  benutzt. Die grosse Zahl der bei dieser Rechnung entstandenen Kurven sollen hier aus Platzgründen nicht wiedergegeben werden, sondern in den Fig. 16, 17 und 18 nur die Kurven der endgültigen Resultate.

Das Knie, das die Kurven der Fig. 16 bis 18 in der Gegend der LeiterTemperatur  $t_1 = 30^\circ\text{C}$  aufweisen, entspricht dem Knie der Kurven in Fig. 2, an dem die Dielektrizitätskonstante wiederum von ca.  $30^\circ\text{C}$  an eine verstärkte Abhängigkeit von der Temperatur erfährt. Das untere Knie in Fig. 18 für Kabel No. 5 röhrt her von dem aus Fig. 2 zu ersehenden geradlinigen Verlauf der entsprechenden Dielektrizitätskonstanten von ca.  $55^\circ\text{C}$  an. Auf solche Einzelheiten im Verlaufe der Dielektrizitätskonstanten nimmt natürlich der zur Aufstellung der Gleichung (3) benutzte Ansatz  $\epsilon = \epsilon_0 e^{at}$  keine Rücksicht, was jedoch den Wert der Gleichung (3) nicht wesentlich beeinträchtigt, da letztere auf möglichst einfache Art den Charakter der Temperaturbeeinflussung in bezug auf die Spannungsverteilung praktisch genau genug zum Ausdruck bringt.

Maximaler Spannungsgradient in Funktion des Leiterstromes von Kabel No. 1 bei Gleichstrom. Bei homogener Spannungsverteilung beträgt der Gradient 25 KV/cm.  $t_1$  bedeutet die LeiterTemperatur, die Raumtemperatur ist  $7^\circ\text{C}$ . Der maximale Gradient liegt für die Temperaturen  $t_1 = 40^\circ\text{C}$  und  $60^\circ\text{C}$  an der Leiteroberfläche entsprechend einem Radius  $r_1 = 0,75\text{ cm}$ . Der Mantelradius  $r_2$  ist  $1,95\text{ cm}$ . Bei  $t_1 = 70^\circ\text{C}$  ist der maximale Gradient bei  $r = 0,95\text{ cm}$ .

Wenn bei der Aufstellung der Gleichung zur Berechnung der Spannungsverteilung die Beeinflussung der Dielektrizitätskonstanten durch die Spannung nicht zur Sprache kam, so geschah es, weil bei den experimentellen Untersuchungen dieser Arbeit keine nennenswerte Abhängigkeit der Dielektrizitätskonstanten von der Spannung konstatiert wurde, was übrigens an andern Kabelfabrikaten auch schon festgestellt wurde.

## 2. Die Spannungsbeanspruchung im Wechselstromkabel bei Normalspannung.

Die eingangs des vorigen Abschnittes gemachten Vereinfachungen bezüglich der Berechnung der Spannungsverteilung in der Kabelisolation haben zu-

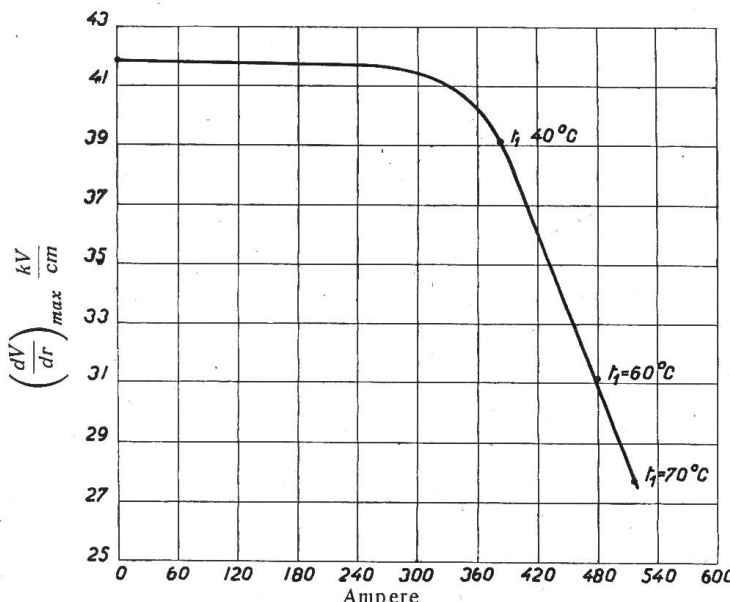


Fig. 17

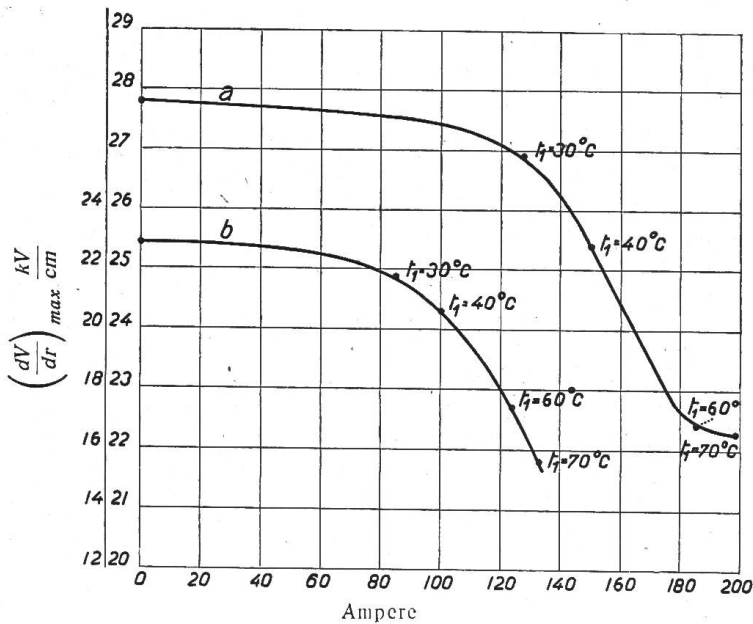


Fig. 18

Maximaler Spannungsgradient in Funktion des Leiterstromes von Kabel No. 5, Kurve *a*, und No. 13, Kurve *b*, bei Gleichstrom. Bei homogener Spannungsverteilung beträgt der Gradient von Kabel No. 5 20 KV/cm, von Kabel No. 13 12 KV/cm.  $t_1$  bedeutet die LeiterTemperatur, die Raumtemperatur ist  $7^\circ\text{C}$ . Der maximale Gradient liegt für die Temperaturen  $t_1 = 30, 40, 60$ , und  $70^\circ\text{C}$  an der Leiteroberfläche.

folge der Werte der Kurve in Fig. 10 auch an dieser Stelle Geltung. Demgemäß ergibt sich die Aufstellung der Gleichung zur Bestimmung der Spannungsbeanspruchung wie folgt:

Die Kapazitätsreaktanz  $dX_c$  eines Elementarzyinders beträgt in Ohm:

$$dX_c = \frac{0,9 \cdot 10^{12}}{\pi f} \frac{dr}{\epsilon r},$$

wo  $f$  die Frequenz des Wechselstromes bedeutet. Wenn  $I_c$  den Ladestrom des Kabels und  $dV$  die Spannung an einem Elementarzyinder darstellt, dann gilt die Beziehung:

$$dV = I_c dX_c.$$

Ersetzt man in diesem Ausdruck  $dX_c$  durch den oben erwähnten Wert, und  $I_c$  durch den Quotienten  $V$  dividiert durch das Integral von  $r_1$  bis  $r_2$  der Grösse  $dX_c$ , dann folgt für den Spannungsgradienten der Ausdruck:

$$\frac{dV}{dr} = \frac{V}{r \int_{r_1}^{r_2} \frac{dr}{r \epsilon}}, \quad (4)$$

in welchem  $V$  den Effektivwert der Spannung zwischen Leiter und Bleimantel bei rein sinusförmiger Kurve der Wechselspannung bedeutet.

Diese Gleichung (4) zeigt denselben Aufbau wie die für Gleichstromkabel entwickelte Gleichung (1). Im vorliegenden Falle kann jedoch  $\epsilon$  vor das Integral genommen werden, zufolge der gefundenen Unabhängigkeit der Dielektrizitätskonstanten von der Temperatur, die aus den Fig. 6 und 7 zu entnehmen ist. Damit gewinnt man die übliche Gradientenformel:

$$\frac{dV}{dr} = \frac{V}{r \lg \frac{r_2}{r_1}}. \quad (4a)$$

Es ergibt sich somit das bemerkenswerte Resultat, dass, im Gegensatz zu Gleichstromkabeln, bei Wechselstromkabeln die Beeinflussung der Spannungsverteilung durch das Temperaturgefälle praktisch vernachlässigbar ist. Seine Begründung liegt in der konstatierten Unabhängigkeit der Dielektrizitätskonstanten von der Temperatur gemessen mit Wechselstrom, gegenüber der gefundenen Abhängigkeit der Dielektrizitätskonstanten von der Temperatur gemessen mit Gleichstrom. Die bei der Kabelprüfung hin und wieder stattfindenden Spannungsproben von Wechselstromkabeln mit Gleichspannungen sind daher nur berechtigt, wenn das Kabel dielektrikum gleichförmig warm ist. Dies ist jedoch zufolge der dielektrischen Verluste kaum zu erreichen, weshalb diese Prüfungsart nicht empfohlen werden kann.

Der Unterschied im Verhalten von Wechselstrom- und von Gleichstromkabeln in bezug auf die Spannungsverteilung kann jedoch nur für Wechselströme, die dem untersuchten Frequenzbereich (16  $\frac{2}{3}$ , 50 und 800) angehören, bestimmt ausgesprochen werden. Möglicherweise tritt die Temperaturbeeinflussung der Dielektrizitätskonstanten auch bei Wechselstrom auf, wenn dessen Frequenz wesentlich kleiner ist als 16  $\frac{2}{3}$ . Sehr interessant, jedoch ausserhalb des Rahmens dieser Arbeit liegend, wäre die Ermittlung des Verlaufes des Dielektrizitätskonstanten über der Frequenz für verschiedene Temperaturen des Dielektrikums mit Wechselströmen von 16  $\frac{2}{3}$  bis zu 0 Perioden. Für das ungefähre Temperaturintervall von 0 bis 20  $^{\circ}$ C kann jedoch, auf Grund der vorliegenden Versuche, jetzt schon gesagt werden, dass eine nennenswerte Frequenzabhängigkeit der Dielektrizitätskonstanten auch für diese kleinen Frequenzen nicht besteht; Versuche dieser Art hätten also bei Temperaturen der Kabelisolation von mehr als 20  $^{\circ}$ C einzusetzen. Die Erklärung für das gefundene verschiedene Verhalten der Dielektrizitätskonstanten, je nachdem die Messung mit Gleich- oder Wechselstrom erfolgt, ist wahrscheinlich in der Erscheinung der den festen Isolierstoffen eigentümlichen dielektrischen Nachwirkung zu finden.

### 3. Die Spannungsbeanspruchung im Kabel bei Durchschlagsspannung.

Während in den beiden vorangehenden Abschnitten das Kabeldielektrikum nur bei Spannungen, die unter, gleich oder unwesentlich höher als die Normalspannung liegen, betrachtet wurde, sollen an dieser Stelle die Vorgänge behandelt werden, die dann eintreten, wenn die Kabelisolation unter Spannungen steht, die zum Durchbruch derselben führen. Handelt es sich um die Berechnung der Spannungsverteilung bei Spannungsbeanspruchungen, die derjenigen unmittelbar vor dem Durchschlag oder direkt beim Durchschlag gleichkommen, dann rechtfertigt sich die Darstellungsweise des Dielektrikums als reinen ohmschen Widerstand. Dies fußt auf der Erscheinung, dass die Leitfähigkeit mit steigender Spannung zunimmt. Dass dem so sein muss, lässt sich wie folgt erklären:

$I$  bedeute den durchfliessenden Wattstrom,  $dV$  die Spannung an einem Elementarzylinder der Isolation. Die in diesem Zylinder in Wärme umgewandelte elektrische Energie stellt sich dar als das Produkt  $I \cdot dV$ . Je höher die Spannung wird, je grösser ist diese Wärmemenge, was zur Folge hat, dass der Temperaturgradient und mithin die Temperatur an dem Elementarzylinder steigt, wodurch die Leitfähigkeit zunimmt, wie der experimentelle Teil dieser Arbeit zeigt.

Die das Dielektrikum bildenden, ursprünglich nahezu reinen Elementarkondensatoren, werden mit zunehmender Spannung immer stärker durch Leitfähigkeit überbrückt, so dass die Kabelisolation, je näher man zur Durchschlagsspannung gelangt, stets besser durch die Serieschaltung von lauter ohmschen Elementarwiderständen wiedergegeben werden kann, die durch die Abmessungen der sie bildenden Zylinder, sowie durch deren Leitfähigkeit  $g$  in elektrostatischen Einheiten dem Werte nach festgelegt sind<sup>4)</sup>. Ist  $dR$  der ohmsche Widerstand eines Elementarzylinders, dann kann er ausgedrückt werden durch:

$$dR = \frac{0,9 \cdot 10^{12}}{2\pi} \frac{dr}{gr} = dV \frac{R}{V},$$

wobei  $V$  die Spannung zwischen Leiter und Bleimantel,  $R$  den ohmschen Widerstand des ganzen Kabelquerschnittes auf 1 cm Kabellänge und  $r$  den Radius des betreffenden Zylinders bedeuten. Diese Beziehung liefert die Gleichung der Spannungsverteilung, welche lautet:

$$\frac{dV}{dr} = \frac{V}{gr \int_{r_1}^{r_2} \frac{dr}{gr}}. \quad (5)$$

$g$  ist zufolge seiner Temperaturabhängigkeit eine Funktion des Radius  $r$  und verbleibt somit im Integral. Um diese Funktion zu gewinnen, bedarf es der Kenntnis der Temperaturverteilung in der Kabelisolation. Es sei nun zunächst die Berechnung dieser Temperaturverteilung durchgeführt, wobei von einer Wärmeströmung in axialer Richtung des Kabels abgesehen werde, was bei praktischen Kabellängen wohl zulässig ist. Als Wärmequelle sei nur, wie in der Einleitung bereits auseinandergesetzt wurde, die Joulesche Wärme der Isolation (dielektrische Stromwärme) in Berücksichtigung gezogen.

Da die Zunahme der Stromwärme in einem Elementarzylinder gleich sein muss der in letzterem in Wärme umgesetzten elektrischen Energie, besteht für den statio-nären Zustand folgender Ansatz:

$$\frac{d\left(\frac{2\pi}{\sigma} r \frac{dt}{dr}\right)}{dr} = - \frac{I dV}{dr}. \quad (6)$$

<sup>4)</sup> Die Wahl elektrostatischer Einheiten für  $g$  wurde getroffen, um die Darstellung in diesem Abschnitt so vollkommen als möglich mit der Darstellungsweise der früheren Abschnitte in Analogie zu bringen.

Setzt man für  $r \frac{dt}{dr} = y$  und für  $r \frac{dV}{dr} = x$ , dann gehen die Gleichungen (5) und (6) über in:

$$x = \frac{0,9 \cdot 10^{12}}{2\pi} \cdot \frac{I}{g}$$

$$d\left(\frac{2\pi}{\sigma} y\right) = -I \frac{x}{y} dt,$$

wobei in der ersteren dieser beiden Beziehungen an Stelle der Spannung  $V$  das Produkt  $IR$  gesetzt wurde. Die Vereinigung der beiden Gleichungen gibt:

$$y d\left(\frac{2\pi}{\sigma} y\right) = -\frac{0,9 \cdot 10^{12}}{2\pi} \frac{I^2}{g} dt.$$

Durch Integration erhält man:

$$\frac{\pi}{\sigma} y^2 = A - \frac{0,9 \cdot 10^{12}}{2\pi} I^2 \varphi(t),$$

wobei  $A$  eine Integrationskonstante und  $\varphi(t)$  die integrierte Temperaturfunktion der Leitfähigkeit  $g$  bedeuten. Ersetzt man  $y$  durch seinen ursprünglichen Wert, so erhält man:

$$\frac{\pi}{\sigma} \left(r \frac{dt}{dr}\right)^2 = A - \frac{0,9 \cdot 10^{12}}{2\pi} I^2 \varphi(t).$$

Durch Multiplikation beider Seiten dieser Gleichung mit  $\frac{4\pi}{\sigma}$  folgt:

$$\left(\frac{2\pi}{\sigma} r \frac{dt}{dr}\right)^2 = \frac{4\pi}{\sigma} A - \frac{1,8 \cdot 10^{12}}{\sigma} I^2 \varphi(t). \quad (7)$$

Der Wärmewiderstand  $\sigma$  ist im experimentellen Teile der Arbeit auf seine Temperaturabhängigkeit nur im Temperaturbereich von 0 bis  $100^{\circ}\text{C}$  untersucht worden. Dabei erwies er sich als unabhängig von der Temperatur. In Gleichung (7) soll  $\sigma$  auch als unabhängig von der Temperatur angesehen werden, obwohl dies im Bereich höherer Temperaturen erst festgestellt werden müsste. Die Integrationskonstante  $A$  wird gefunden, indem man für  $r = r_2$  und  $t = t_2$  die linke Seite der Gleichung (7), welche das Quadrat der Wärmemenge darstellt, die durch einen Zylinder mit dem Radius  $r$  hindurchtritt, ersetzt durch das Quadrat der total in der Kabelisolation produzierten Wärmemenge  $I \cdot V$  oder  $I^2 \cdot R$ . Gleichung (7) schreibt sich dann:

$$\left(\frac{2\pi}{\sigma} r \frac{dt}{dr}\right)^2 = I^4 R^2 + \frac{1,8 \cdot 10^{12}}{\sigma} I^2 \varphi(t_2) - \frac{1,8 \cdot 10^{12}}{\sigma} I^2 \varphi(t).$$

Durch Trennung der Variablen findet man:

$$\frac{dr}{r} = \frac{dt}{\sqrt{\frac{I^4 R^2 \sigma^2}{4\pi^2} + \frac{1,8 \cdot 10^{12}}{4\pi^2} \sigma I^2 \varphi(t_2) - \frac{1,8 \cdot 10^{12}}{4\pi^2} \sigma I^2 \varphi(t)}}.$$

Durch Integration geht diese Gleichung über in die Form:

$$\lg r + B = \int \frac{dt}{\sqrt{C - D \varphi(t)}}. \quad (8)$$

Dabei ist  $B$  eine Integrationskonstante, die man bestimmt, indem man für  $r = r_2$ ,  $t = t_2$  setzt. Weiter gelten die Abkürzungen:

$$C = \frac{I^4 R^2 \sigma^2}{4\pi^2} + \frac{1,8 \cdot 10^{12} \sigma}{4\pi^2} I^2 \varphi(t_2)$$

$$D = \frac{1,8 \cdot 10^{12} \sigma}{4 \pi^2} I^2.$$

Ist die Leitfähigkeit  $g$  in Funktion der Temperatur experimentell aufgenommen, diese Kurve analytisch formuliert und darauf integriert, dann kann das damit erhaltene  $\varphi(t)$  in Gleichung (8) eingesetzt werden. Nach vorgenommener Integration der rechten Seite dieser Gleichung stellt dieselbe die gesuchte Temperaturverteilung dar. Man ist dann in den Stand gesetzt, die Grösse  $g$  in Gleichung (5) durch eine  $r$ -Funktion auszudrücken, womit die endgültige Form der Gleichung für die Spannungsverteilung gewonnen ist.

#### 4. Der physikalische Vorgang beim elektrischen Durchschlag und die Berechnung der Sicherheit gegen Durchschlag.

Nach den im vorigen Abschnitt gemachten analytischen Vorbereitungen möge jetzt auf den physikalischen Vorgang beim Durchschlag des Kabeldielektrikums eingetreten werden, sowie auf die Berechnung der Durchschlagsspannung.

Wird die zwischen Leiter und Bleimantel liegende Spannung  $V$  gesteigert, dann hat dies ein Zunehmen der Spannungsgradienten  $\frac{dV}{dr}$  zur Folge, womit zugleich die Wärmeproduktion  $dV \cdot I$  in den Elementarzylinern wächst. Mit der Erhöhung dieser Wärmebildung nehmen die Temperaturgradienten  $\frac{dt}{dr}$  zu und führen zu höhern Temperaturwerten. Damit geht Hand in Hand ein Anwachsen der Leitfähigkeit der Elementarzyliner vor sich, wodurch der Strom  $I$  und somit auch die Wärmeproduktion  $dV \cdot I$  sich noch stärker ausbilden. Durch die fortgesetzte Spannungssteigerung treibt man somit die Temperatur der die Kabelisolation bildenden Papierlagen immer höher, wodurch es zur Karbonisation der die höchste Temperatur aufweisenden Papierlage kommt. Letztere ist dadurch kurzgeschlossen. Die Gesamtspannung  $V$  erstreckt sich über weniger Papierlagen, was die Gradienten  $\frac{dV}{dr}$  erhöht.

Auch wächst der Strom  $I$  an zufolge des kleineren ohmschen Gesamtwiderstandes. Sowohl das Anwachsen der Spannungsgradienten, als auch die Stromzunahme bedingen nun eine verstärkte Wärmeproduktion, ohne dass dazu eine weitere Spannungserhöhung nötig ist. Ist der soeben beschriebene Vorgang einmal eingeleitet, dann wird Lage für Lage demselben Karbonisationsprozess unterworfen, d. h. der Durchschlag ist eingeleitet. Als Konsequenz geht aus dem derart beschriebenen Vorgang hervor, dass auch trotz Spannungsverminderung die Stromzunahme in der Isolation weiter steigen kann; Bedingung dafür ist nur, dass die produzierte Wärmemenge stets noch eine Temperatur aufrecht erhält, die genügt, das Papier leitend zu machen. Auch kann gefolgert werden, dass nicht etwa, wie vielerseits angenommen, der Maximalwert der Wechselspannung für den Durchschlag fester Isolatoren massgebend ist, sondern ihr Effektivwert. Die Temperatur, die erforderlich ist, um Papier zu karbonisieren, möge von nun ab Karbonisierungstemperatur  $t_k$  genannt werden.

Gleichung (8) kann symbolisch geschrieben werden:

$$t = f(r).$$

Durch Differenzieren dieser Gleichung kann man den Wert von  $r$  finden, der für  $t$  maximal ist. Setzt man

$$t_{\max} = t_k$$

und löst die Gleichung nach dem in ihr enthaltenen Strom  $I$  auf, dann stellt  $I_k$  beim ohmschen Widerstand  $R_k$  den Wert dar, welcher erforderlich ist, um in der Kabelisolation die Karbonisierungstemperatur hervorzubringen. Gemäss der Beziehung  $IR = V$  kann angeschrieben werden:

$$I_k R_k = V_k. \quad (9)$$

Hierin bedeutet  $V_k$  die gesuchte Durchschlagsspannung. Es handelt sich nur noch darum,  $R_k$  zu bestimmen. Dies geschieht folgendermassen:

Integriert man die eingangs des vorletzten Abschnittes erwähnte Gleichung von  $dR$ , so erhält man:

$$R = \frac{0,9 \cdot 10^{12}}{2\pi} \int_{r_1}^{r_2} \frac{dr}{g r}.$$

Die Grösse  $g$  wird auf dieselbe Weise, wie im Zusammenhang mit der Gleichung (5) erörtert, durch ihre  $r$ -Funktion ersetzt, wobei die  $(g, r)$  Kurve im Gebiete zu benützen ist, in dem  $g_{\max}$  gerade  $t_k$  entspricht.

Die Sicherheit  $S$  gegen Durchschlag kann dargestellt werden durch den Quotienten:

$$S = \frac{\left(\frac{dV}{dr}\right)_k}{\left(\frac{dV}{dr}\right)_{NB}}. \quad (10)$$

Die in Gleichung (10) eingeführten Spannungsgradienten sollen ausgezeichnete Gradienten sein, nämlich derjenige des Zählers der der Gleichung (5) entsprechende, wenn in letzterer  $V_k$  eingesetzt wird, derjenige des Nenners, je nachdem es sich um Gleich- oder Wechselstrom handelt, der der Gleichung (1) resp. der Gleichung (4a) entsprechende, sofern die Spannung  $V$  durch den Wert der normalen Betriebsspannung ersetzt ist.

Es sei noch gesagt, dass die derart berechnete Durchschlagsspannung  $V_k$  sich nur dann einstellt, wenn der stationäre Zustand der Wärmeströmung in der Kabelisolation eingetreten ist. Letzteres ist der Fall bei Dauerspannungen, nicht etwa nur bei plötzlicher Steigerung der Spannung bis zum Durchschlag. Die Dauerspannungen sind realisiert bei den mehrstündigen Spannungsproben im Laboratorium, sowie im praktischen Betrieb. Die raschen Spannungssteigerungen sind üblich bei Durchschlagsversuchen und treten im Betriebe auf bei dem Grossteil der Ueberspannungserscheinungen. Im Falle der raschen Spannungssteigerung muss die Durchbruchsspannung nach anderen Gesichtspunkten berechnet werden als wie hier auseinandergesetzt, womit auch andere Werte der Durchschlagsspannung resultieren. Der prinzipielle Grundsatz, dass die übermässige Wärmeproduktion, verbunden mit einem Ueberhandnehmen der Leitfähigkeit den Durchschlag bedingt, gilt natürlich auch für die Fälle der schnellen Spannungssteigerung, wobei jedoch der zeitliche Verlauf des Spannungsanstieges auf die Höhe der Durchschlagsspannung einwirkt. Damit erklären sich auch die in der Praxis stark variierenden Festigkeitswerte für ein und dasselbe Material, da bei den Versuchen meist keine Rücksicht auf das Tempo des Anwachsens der Prüfspannung genommen wird.

Die rechnerisch gewonnenen Resultate zur Festlegung der Durchschlagsspannung konnten aus den nachgewiesenen Gründen nicht experimentell belegt werden:

Um einwandfreie Resultate zu erhalten, wäre es notwendig gewesen, eine sehr grosse Zahl von Kabeln durchzuschlagen, und zwar jedesmal mit Dauerspannung von ca. 2 bis 3 Stunden Prüfzeit. Die grosse Zahl der Durchschläge ist durch allfällige Fabrikationsfehler bedingt. Noch weit kostspieliger wäre die sehr umständliche Präparation der vielen Kabelenden gekommen, wodurch erst ein Durchschlagen der Kabel selbst ermöglicht wird. Trotz dieser besondern Behandlung der Kabelenden erfolgt immer noch ein Teil der Durchschläge am präparierten Kabelende, womit wiederum die Zahl der notwendigen Probestücke sich vermehrt.

Es lässt sich auch ohne diese Durchschlagsversuche auf Grund vorliegender Arbeit schliessen, dass für gleiche Betriebsspannung und für betriebswarmen Zustand die Sicherheit von Einleiterkabeln gegen Durchschlag bei Gleichstrombetrieb wesentlich höher liegen muss, als bei Wechselstrombetrieb.

### 5. Ueber das Ersatzschema des Kabeldielektrikums.

Es ist bekannt, dass die Kabelisolation keine vollkommene Isolationsfähigkeit besitzt, sondern sich durch Leitfähigkeit auszeichnet, die je nach der Höhe der Messspannung und der Temperatur des Isolierstoffes verschieden stark auftritt. Da der Leitfähigkeit Verluste entsprechen, die sich als Stromwärme geltend machen, so ist es üblich gewesen, für ein solches Dielektrikum das Schema der Parallelschaltung einer reinen Kapazität und eines Widerstandes zu benutzen, d. h. das Ersatzschema des sogenannten „unvollkommenen Kondensators“. Im folgenden soll nun gezeigt werden, dass es unstatthaft ist, diese Anschauungsweise in elementarem Sinne auf die untersuchten Kabeldielektrika zu übertragen.

Fig. 19 möge ein solches Ersatzschema der Kabelisolation veranschaulichen; darin bedeuten:

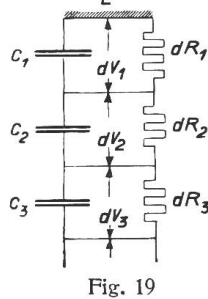


Fig. 19

- $L$  Der Leiter,
- $C_n$  Kapazität des  $n$ ten Elementarzyliners,
- $dR_n$  Verlustwiderstand des  $n$ ten Elementarzyliners,
- $dV_n$  Spannung am  $n$ ten Elementarzyliner,
- $I$  Isolationsstrom des Kabels,
- $I_c$  Reiner Kapazitätsstrom des Kabels,
- $I_R$  Verluststrom des Kabels,
- $\omega$  Wechselgeschwindigkeit des sinusförmigen Wechselstromes.

Die Strom- und Spannungswerte sind als Momentanwerte aufzufassen.

Es besteht nun folgende Beziehung zwischen Strom und Spannung:

$$dV_n + dV_{n+1} = I \frac{1}{\frac{1}{dR_n + dR_{n+1}} + \omega \frac{C_n C_{n+1}}{C_n + C_{n+1}}}.$$

An Stelle dieser Gleichung kann auch geschrieben werden:

$$dV_n + dV_{n+1} = I \left\{ \frac{1}{\frac{1}{dR_n} + \omega C_n} + \frac{1}{\frac{1}{dR_{n+1}} + \omega C_{n+1}} \right\}.$$

Da diese Beziehung zwischen Strom und Spannung mit der vorangehenden gleichwertig sein muss, so können sie einander gleich gesetzt werden. Aus dieser Gleichsetzung resultiert:

$$dR_n C_n = dR_{n+1} C_{n+1}.$$

Die Frequenz  $f$  erscheint in dieser Gleichung nicht, was aussagt, dass sie auch bei Gleichstrom besteht. Die Kapazität eines Elementarzyliners  $C_n$  ergibt sich zu:

$$C_n = k_1 \frac{r_n \epsilon_n}{dr}.$$

Der Elementarwiderstand  $dR_n$  stellt sich dar durch:

$$dR_n = k_2 \frac{dr}{r_n g_n}.$$

In den letzten zwei Gleichungen bedeuten  $k_1$  und  $k_2$  Konstante,  $r_n$  den Radius des  $n$ ten Elementarzyliners und  $\epsilon_n$  resp.  $g_n$  seine Dielektrizitätskonstante resp. seine Leitfähigkeit. Das Produkt  $dR_n \cdot C_n$  kann nun folgendermassen geschrieben werden:

$$dR_n C_n = k \frac{\epsilon_n}{g_n}; \quad \text{ebenso muss gelten:} \quad dR_{n+1} C_{n+1} = k \frac{\epsilon_{n+1}}{g_{n+1}};$$

daraus folgt:

$$\frac{\epsilon_n}{g_n} = \frac{\epsilon_{n+1}}{g_{n+1}}.$$

Besteht im Kabel ein Temperaturgefälle, dann sagt diese Gleichung aus, dass sich im Falle einer Temperaturabhängigkeit die Größen  $\varepsilon$  und  $g$  durch eine und dieselbe Temperaturfunktion ausdrücken lassen müssen. Die vorgenommenen bezüglichen Untersuchungen haben jedoch gezeigt, dass dies nicht zutrifft<sup>5)</sup>. Man ersieht also, dass mit Hilfe eines Ersatzschemas, wie es Fig. 19 zeigt, die analytische Formulierung der Spannungsverteilung im allgemeinen nicht vorgenommen werden kann.

Handelt es sich übrigens nur darum, die Spannungsverteilung entweder bei oder nahe der normalen Betriebsspannung, oder dann bei oder nahe der Durchschlagsspannung zu beurteilen, so erübrigt sich, wie in den vorhergehenden Abschnitten erörtert wurde, die Verwendung irgend eines besonderen Ersatzschemas des sogenannten „unvollkommenen Kondensators“ vollständig.

### Zusammenfassung der Hauptergebnisse.

1. Die Spannungsverteilung im Dielektrikum von Gleichstromkabeln ist in nicht zu vernachlässigendem Masse abhängig von der Grösse des Betriebsstromes.
2. Die Spannungsverteilung im Dielektrikum von Wechselstromkabeln wird nur unwesentlich durch den Betriebsstrom beeinflusst. Die O'Gormansche Formel hat bei diesen Kabeln Gültigkeit, jedoch nur bis zu Spannungen, die unwesentlich über der normalen Betriebsspannung liegen.
3. Die bei der Kabelprüfung hin und wieder stattfindenden Spannungsproben von Wechselstromkabeln mit Gleichspannung sind nicht einwandfrei.
4. Die Vorstellung, dass das Dielektrikum eines Kabels aus der Aneinanderfügung von Elementarzylindern bestehe, welch letztere mit ohmschem Widerstand überbrückte reine Kapazitäten sind, ermöglicht nicht die Berechnung der Spannungsverteilung bei Temperatureinwirkung. Dagegen erweist es sich für Spannungen, die unter, bei oder unwesentlich über der normalen Betriebsspannung liegen, zweckmäßig, das Dielektrikum als die Serieschaltung von lauter reinen Kapazitäten aufzufassen. Bei Spannungen, die zum Durchbruch führen, ist das Dielektrikum als die Serieschaltung von lauter ohmschen Widerständen aufzufassen.
5. Der elektrische Durchschlag der Kabelisolation kann durch die Wärmeproduktion im Dielektrikum erklärt werden. Dieser Vorgang gestattet die Berechnung der Durchbruchsspannung des Kabels. Für den Durchschlag ist der Effektivwert der Spannung massgebend.
6. Für gleiche Betriebsspannung und betriebswarmen Zustand liegt die Sicherheit des Einleiterkabels gegen Durchschlag bei Gleichstrombetrieb wesentlich höher als bei Wechselstrombetrieb.

## Die Zeichnung des genauen Diagrammkreises des Drehstrom-motors.

Von Privatdozent Dr. Robert Moser †, Wien.

*Der Autor gibt ein neues zeichnerisches Verfahren zur Bestimmung des Diagrammkreises des Drehstrommotors unter Berücksichtigung des Magnetisierungsstromes an und beweist die Richtigkeit desselben.*

*L'auteur expose un nouveau procédé graphique pour déterminer le diagramme du moteur asynchrone en tenant compte des pertes dans le fer et démontre son exactitude.*

Die hier zu besprechende Konstruktion des Kreisdiagrammes des Drehstrom-motors, bei welcher der ohmsche Abfall im Primärkreise (Ständer) berücksichtigt wird, konnte bei der grossen Anzahl bereits bekannter Lösungen nicht Selbstzweck

<sup>5)</sup> Das Kabeldielektrikum kann, wie es auch bei den Brückenmessungen vorausgesetzt wurde, als die Parallelschaltung einer reinen Kapazität mit parallel geschaltetem Widerstand angesehen werden. Dies trifft nun aber nur solange zu, als man von der in diesem Abschnitt angenommenen Elementar-  
zergliederung des Dielektrikums absieht.